



ATLAS
EXPERIMENT

Run Number: 206962
Event Number: 38652990
Date: 2012-07-14, 08:31:06 CET

EtCut > 0.5 GeV
PtCut > 0.4 GeV
Electron: black
Cells: Tiles, EMC

Введение в физику частиц

Татьяна Берже-Гринева
(LAPP Annecy, Франция)

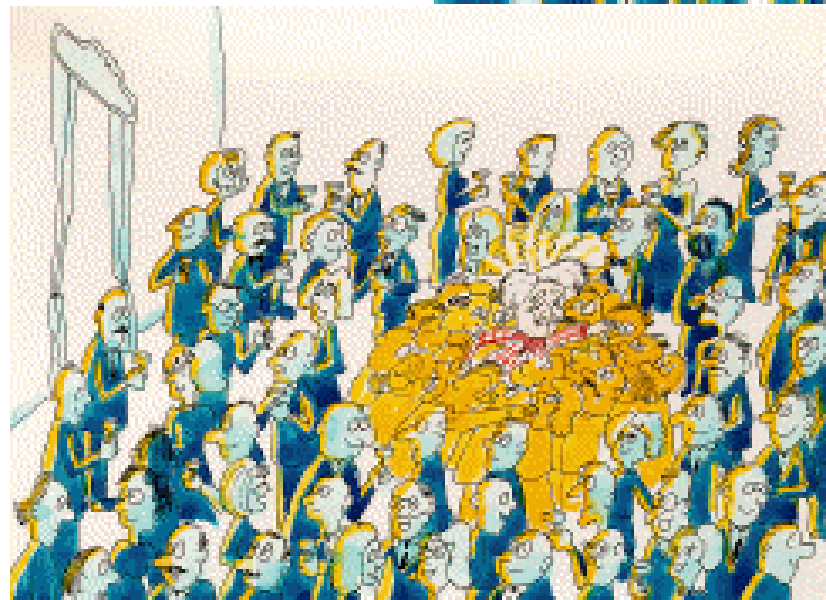
Стандартная Модель (СМ)

1968: SLAC <i>u</i> up quark	1974: Brookhaven & SLAC <i>c</i> charm quark	1995: Fermilab <i>t</i> top quark	1979: DESY <i>g</i> gluon
1968: SLAC <i>d</i> down quark	1947: Manchester Univ.. <i>s</i> strange quark	1977: Fermilab <i>b</i> bottom quark	1923: Washington Univ. γ photon
1956: Savannah River Plant ν_e electron neutrino	1982: Brookhaven ν_μ muon neutrino	2000: Fermilab ν_τ tau neutrino	1983: CERN <i>W</i> <i>W</i> boson
1897: Cavendish Laboratory <i>e</i> electron	1937: Caltech & Harvard μ muon	1976: SLAC τ tau	1983: CERN <i>Z</i> <i>Z</i> boson
2012: CERN <i>H</i> Higgs boson			

Higgs Physics



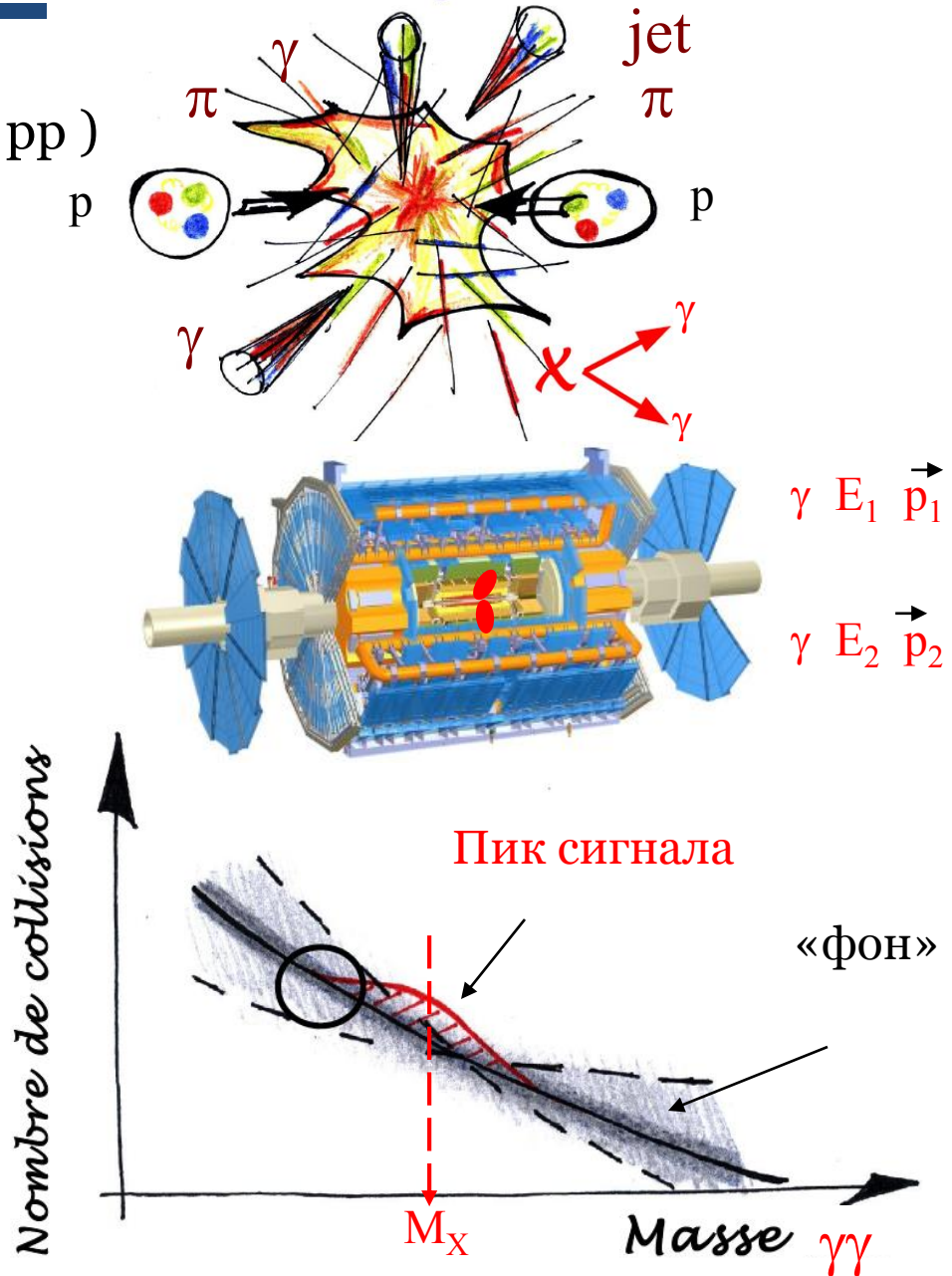
«Как частицы получают массу»



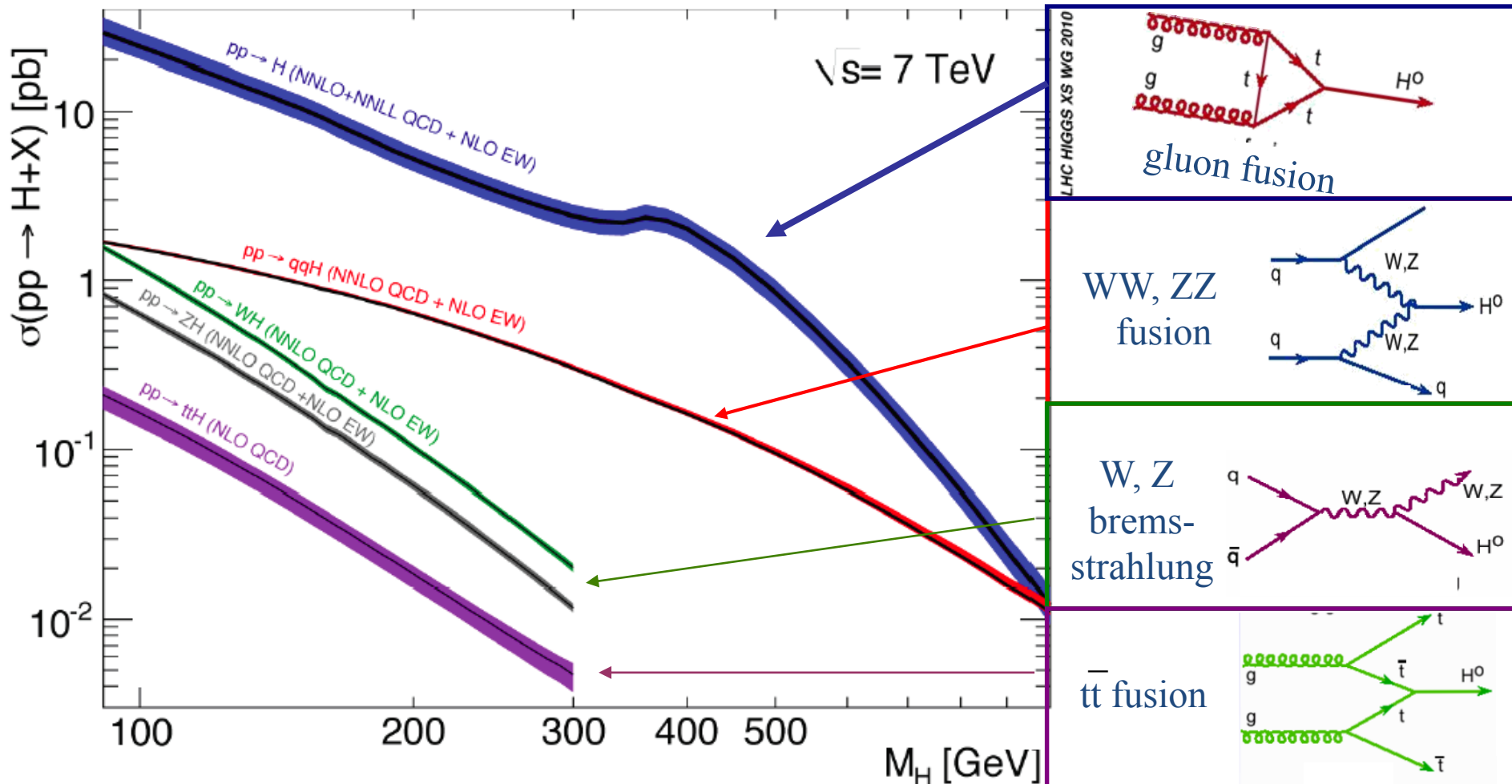
Как найти бозон Хиггса?

- Поизвести в столкновениях (напр. pp)
⇒ Среди других известных частиц может быть **X**
- Идентифицировать и измерить свойства частиц, особенно тех, что получаются при распадах **X**
- Чаще всего, бозон Хиггса проявится как пик в распределении инвариантной массы ($m_{\gamma\gamma}$).

$$M_{\gamma\gamma}^2 = (E_1 + E_2)^2 - (\vec{p}_1 + \vec{p}_2)^2$$



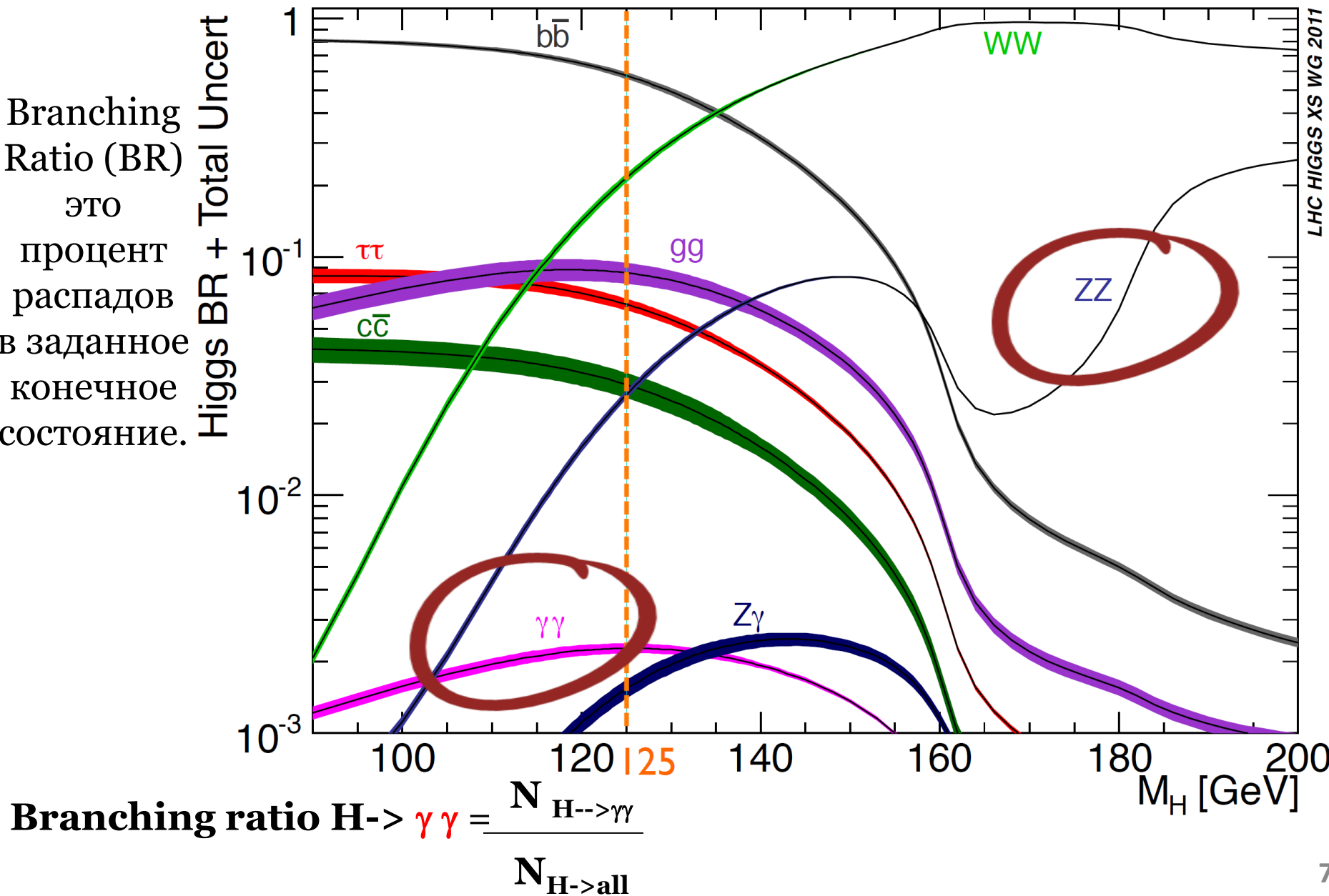
Как производится бозон Хиггса?



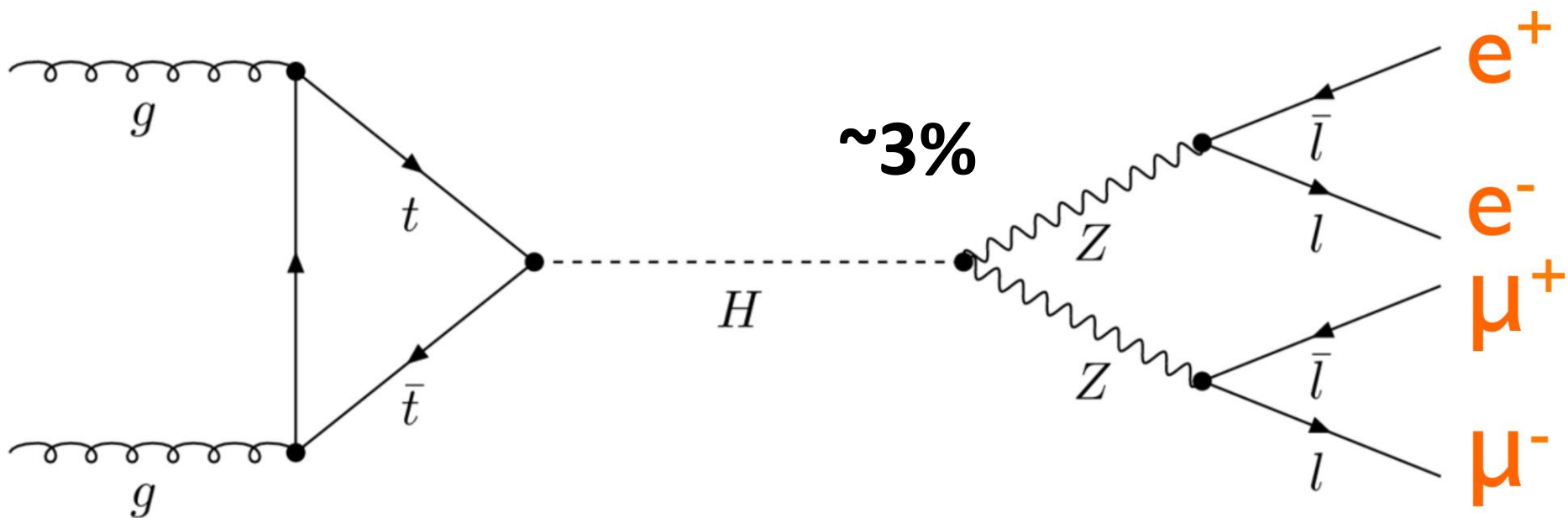
Главный канал: глюонный синтез.

Каналы распада бозона Хиггса в СМ

Branching Ratio (BR) это процент распадов в заданное конечное состояние.

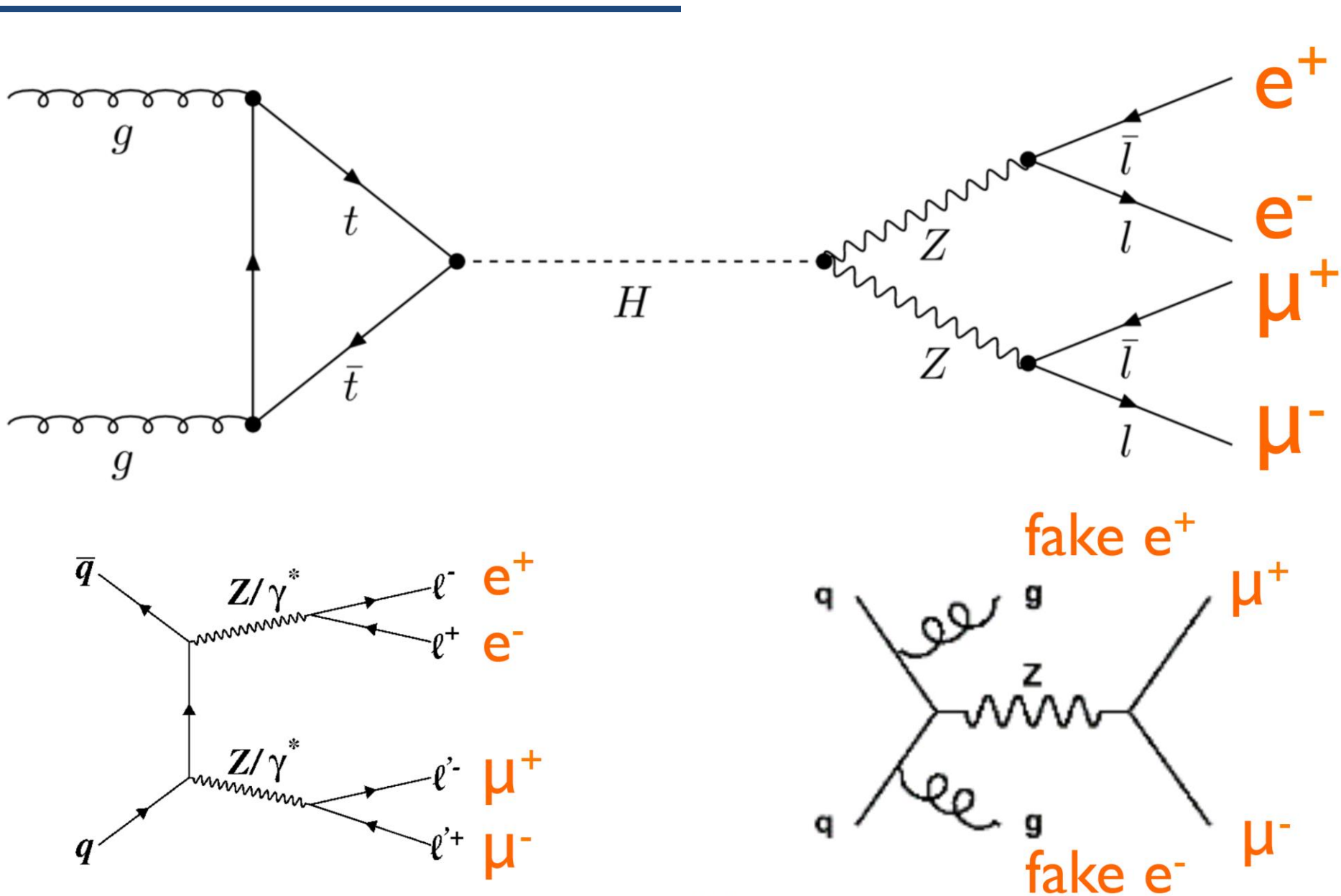


$H \rightarrow ZZ \rightarrow 4l$

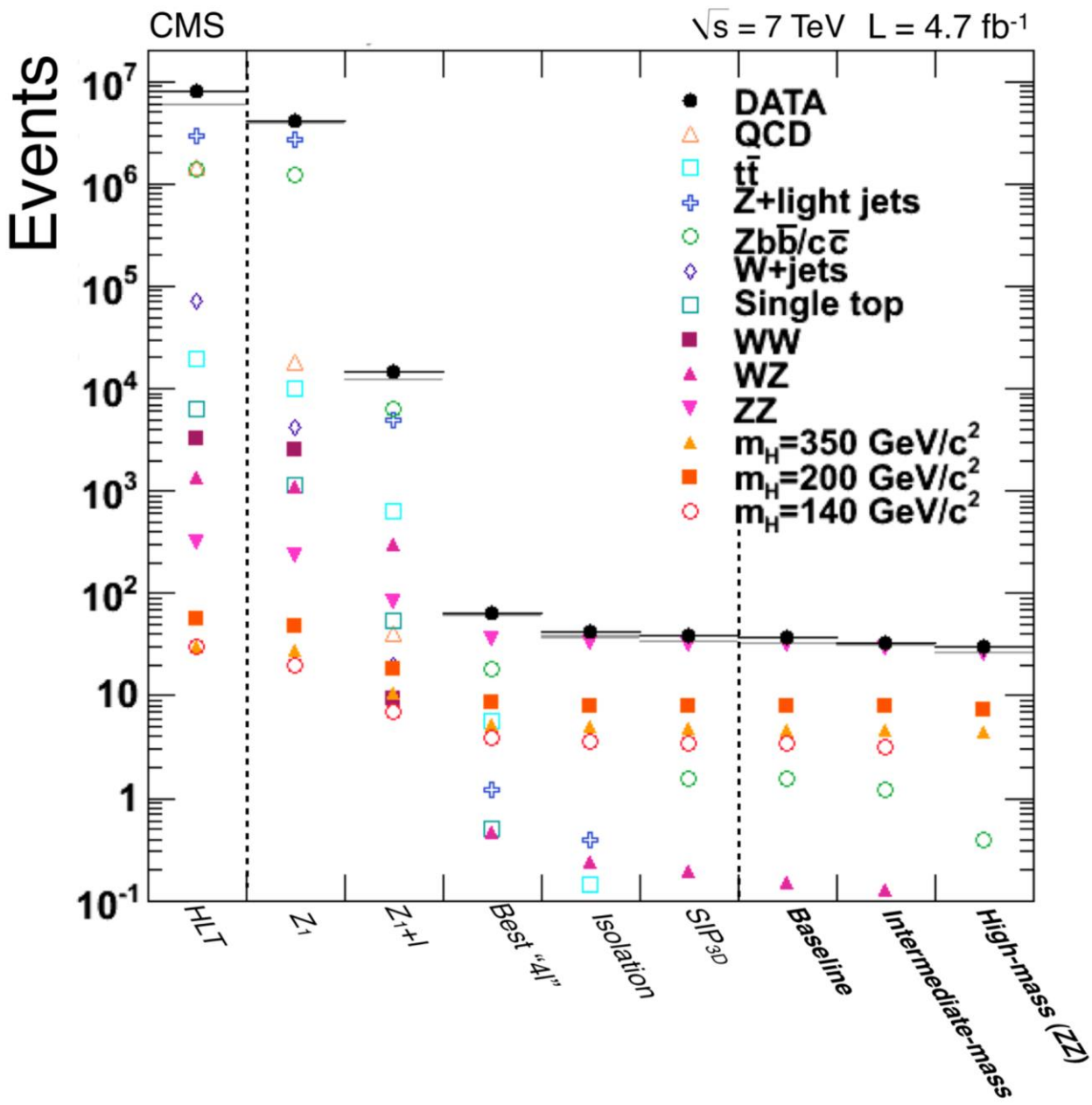


Z DECAY MODES

Mode	Fraction (Γ_i/Γ)
$\Gamma_1 e^+ e^-$	(3.363 ± 0.004) %
$\Gamma_2 \mu^+ \mu^-$	(3.366 ± 0.007) %

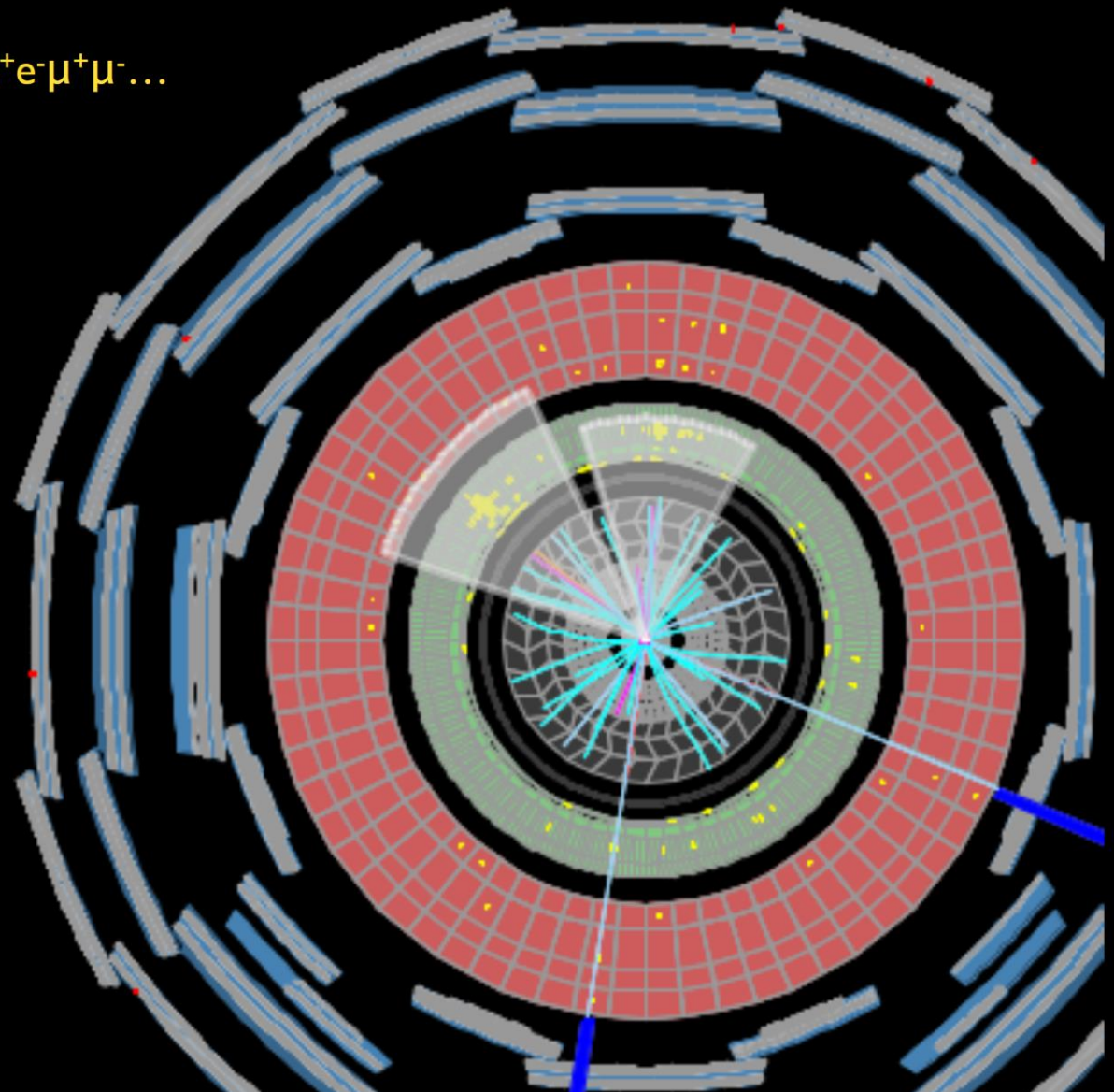


Выбор событий



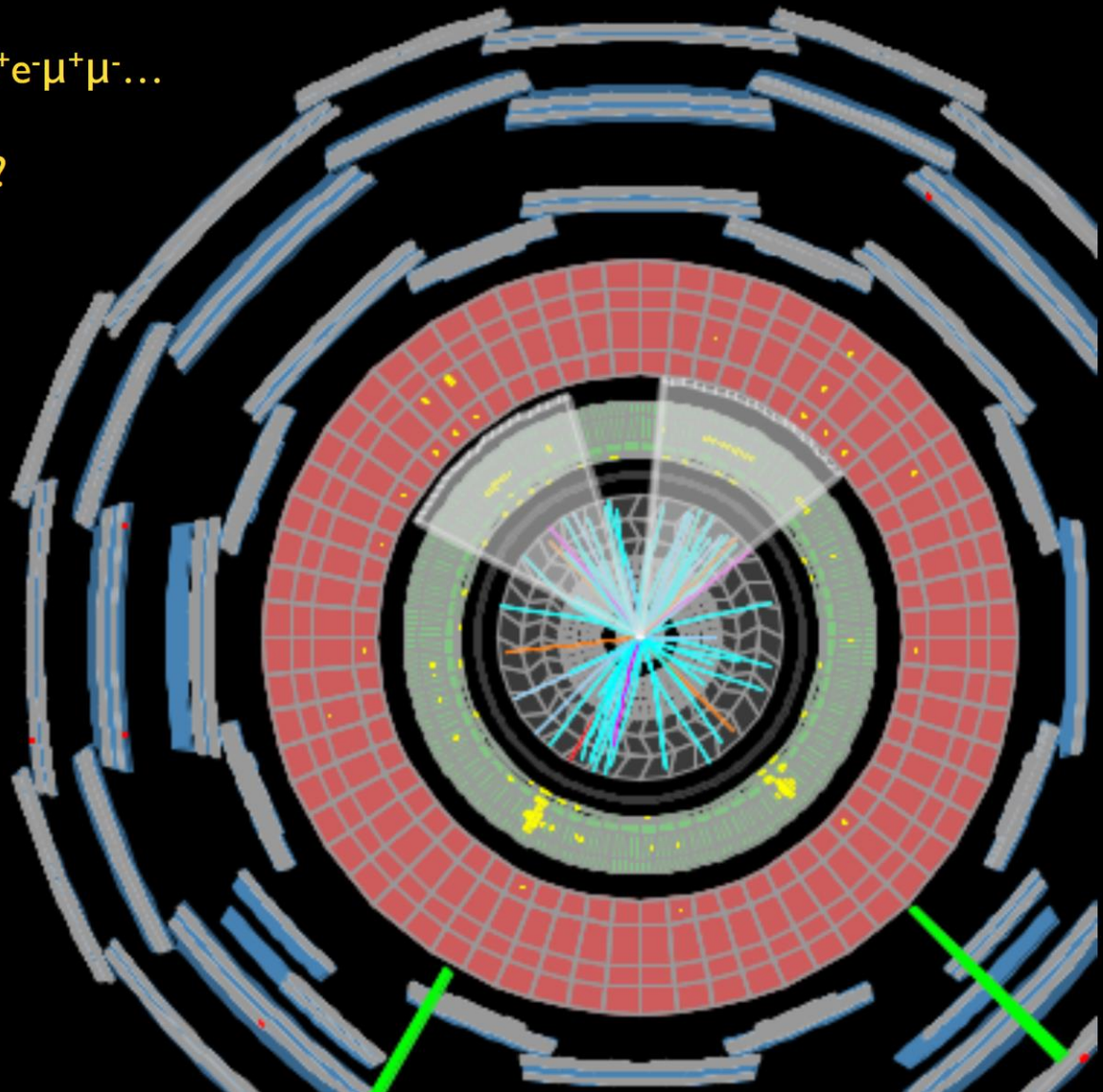
We are looking for $e^+e^-\mu^+\mu^-$...

Is this event ok?



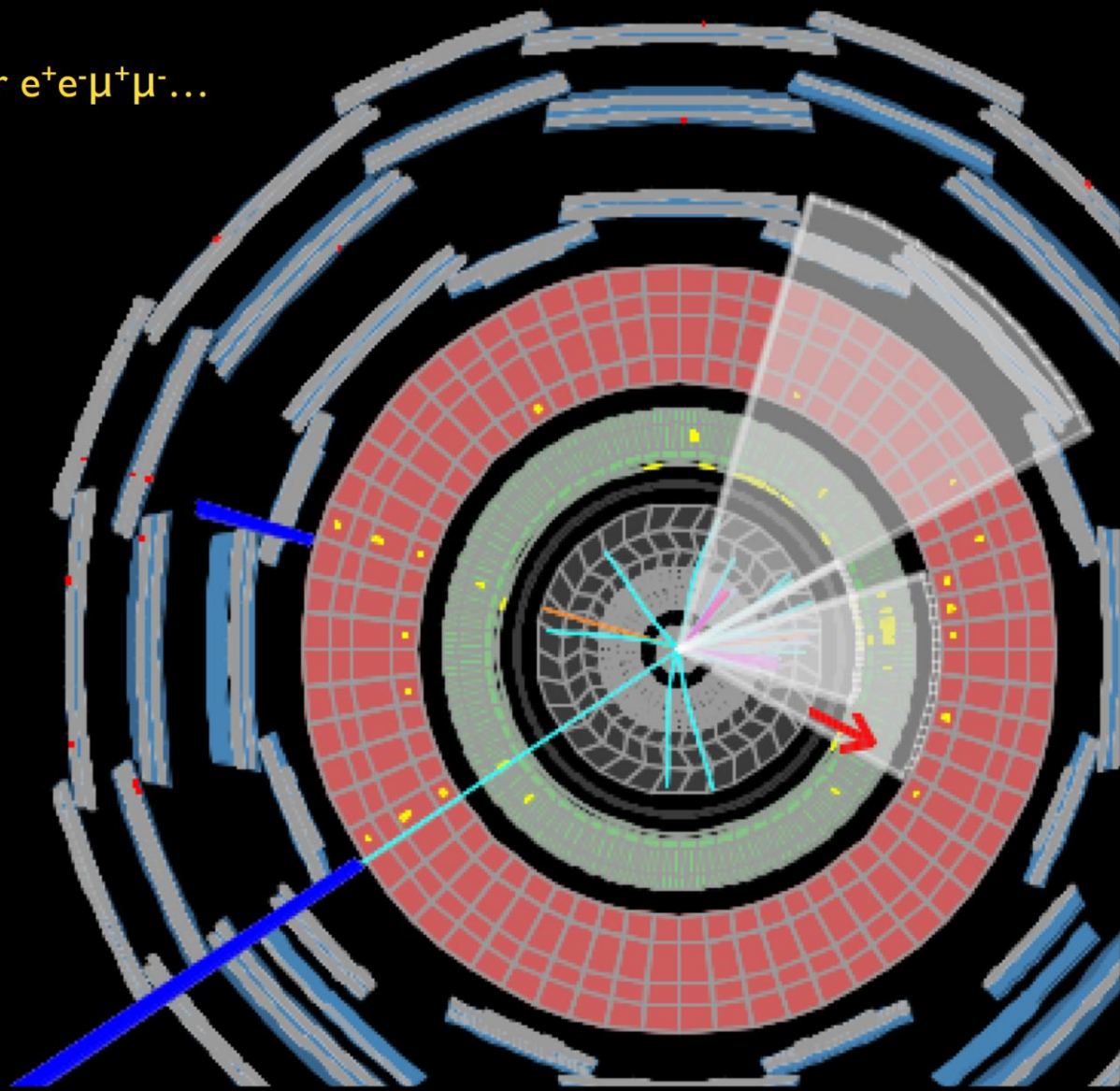
We are looking for $e^+e^-\mu^+\mu^- \dots$

What about this one?



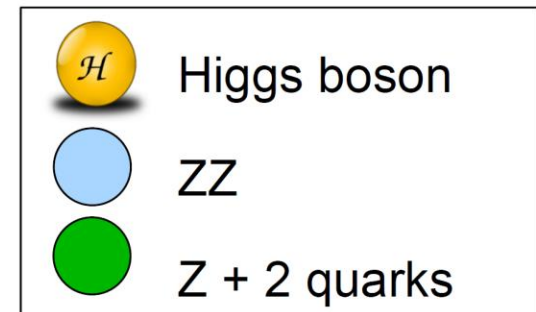
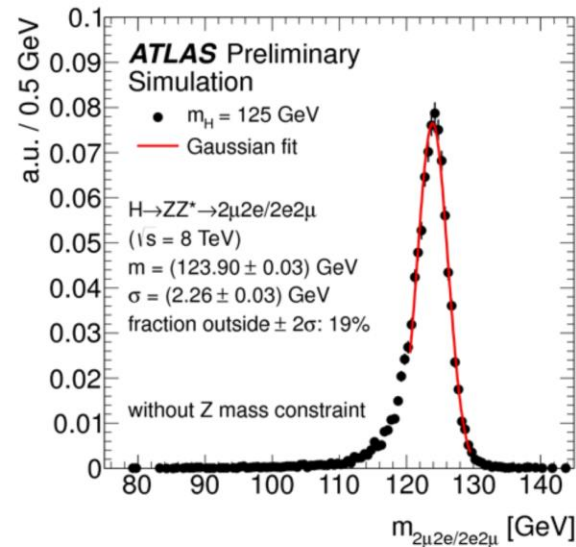
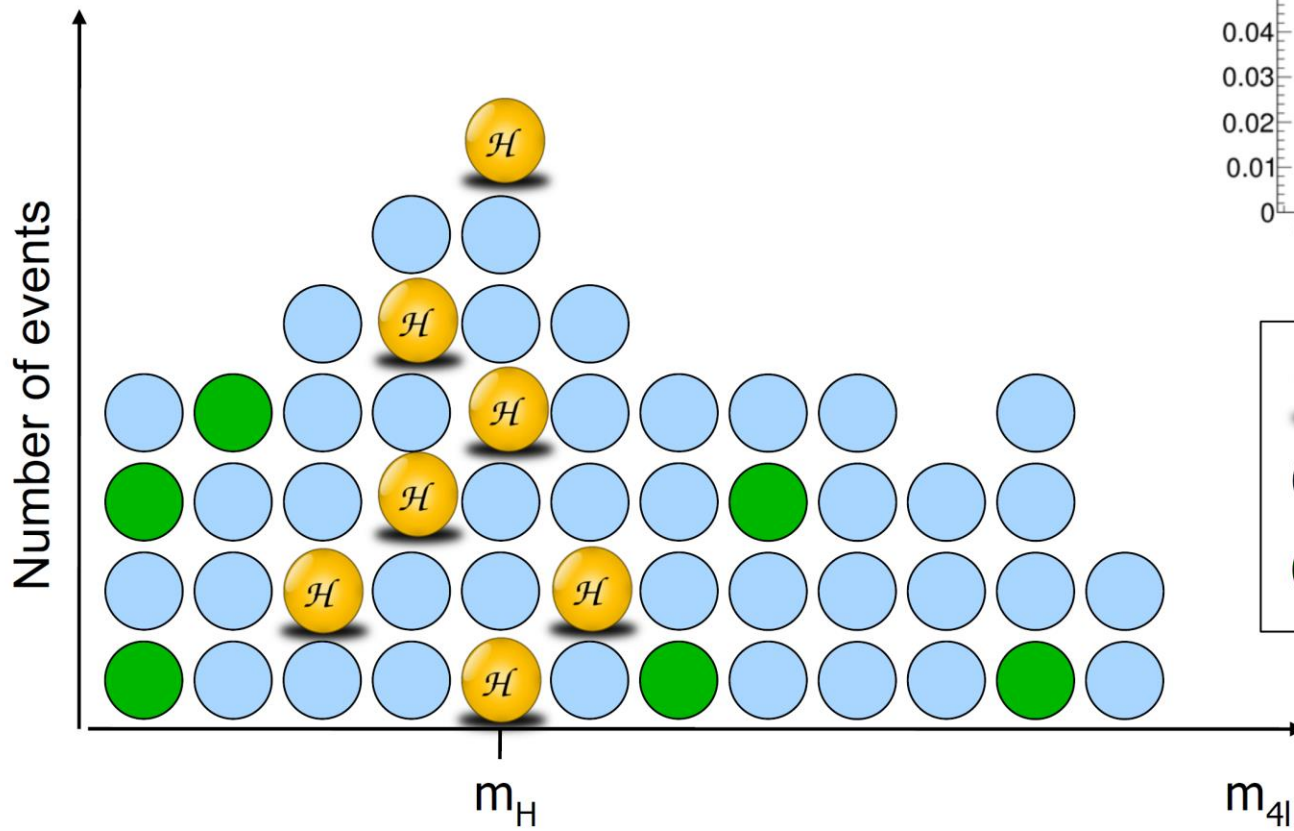
We are looking for $e^+e^-\mu^+\mu^-$...

And this one?



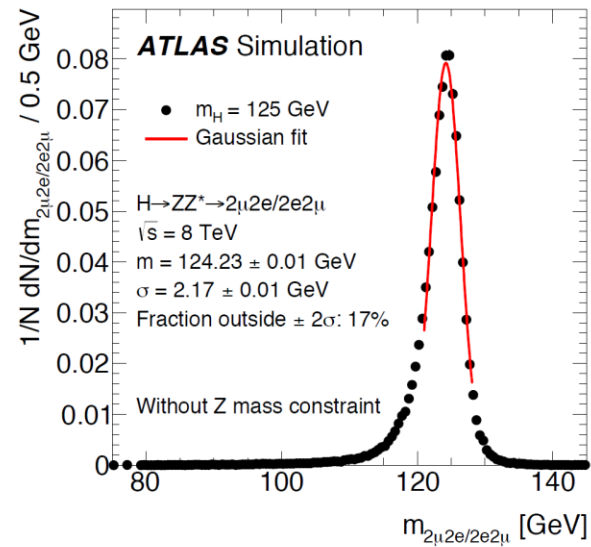
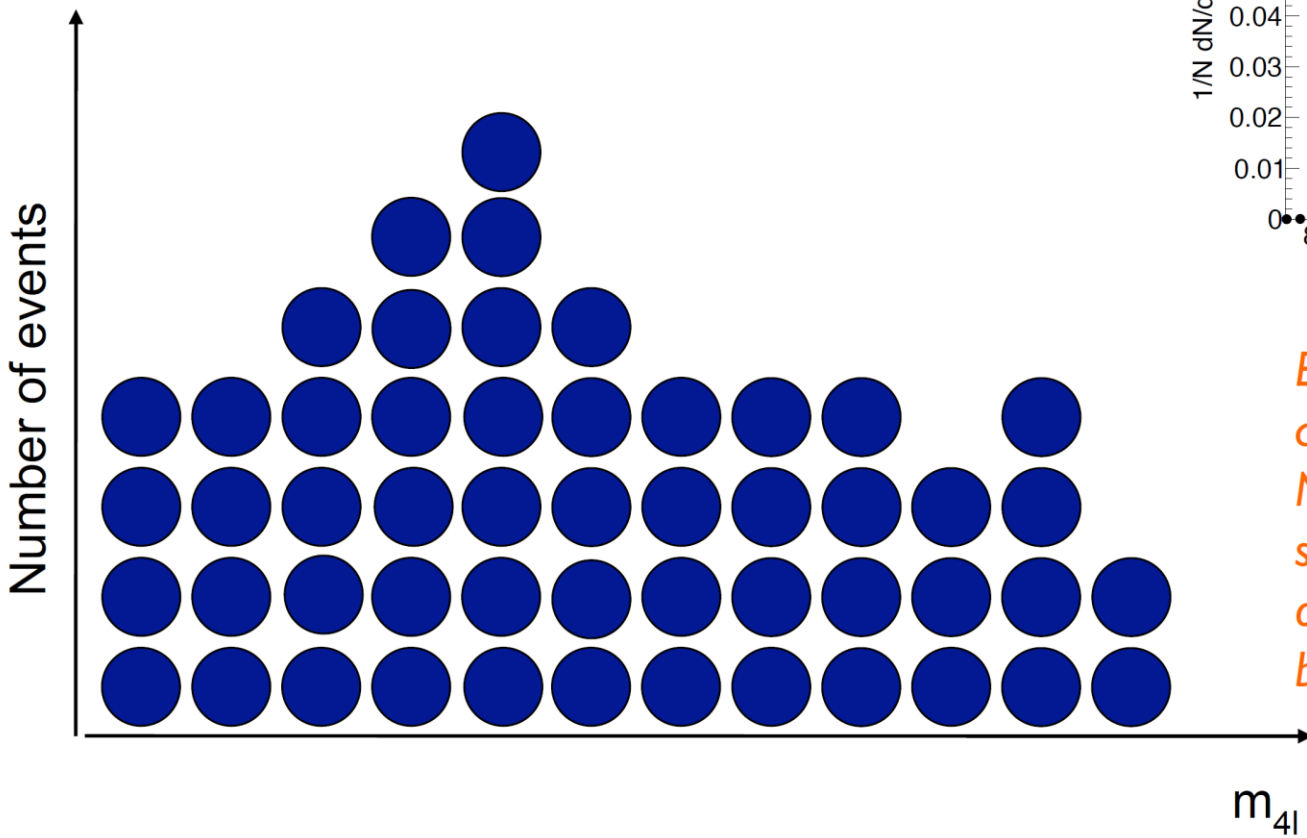
Извлечение сигнала из фона

$$M = \sqrt{\left(\sum E_i\right)^2 - \left(\sum \vec{p}_i\right)^2}$$



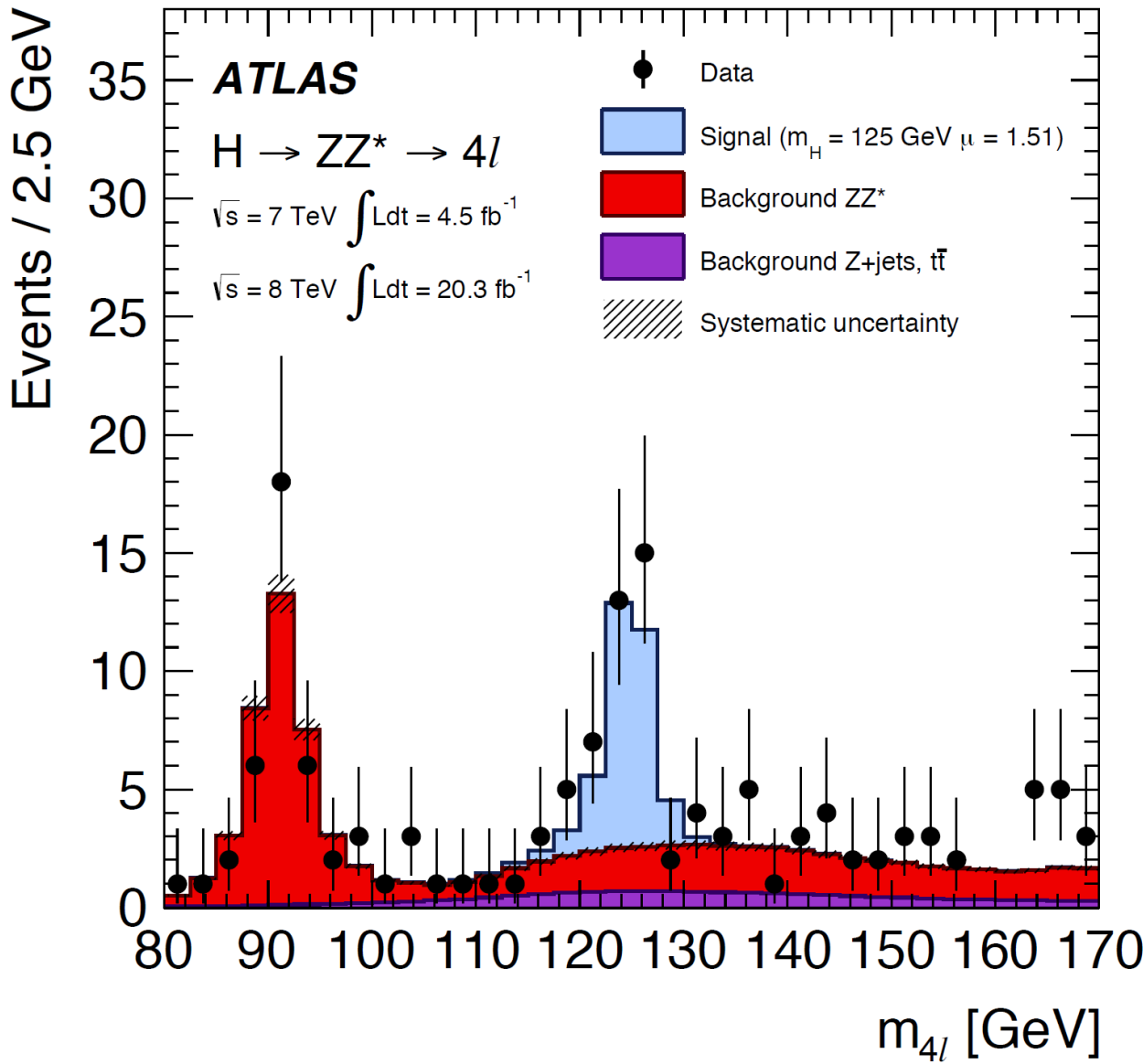
Извлечение сигнала из фона

$$M = \sqrt{\left(\sum E_i\right)^2 - \left(\sum \vec{p}_i\right)^2}$$



*Events in real life do not come with a label!
No way to distinguish signal from background on an event-by-event base...*

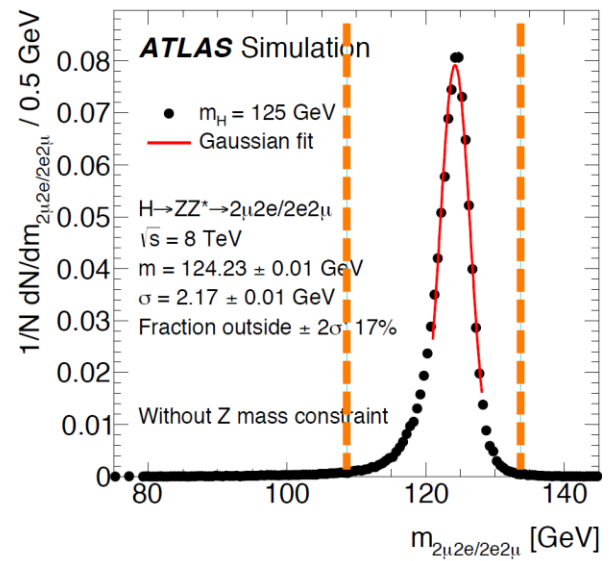
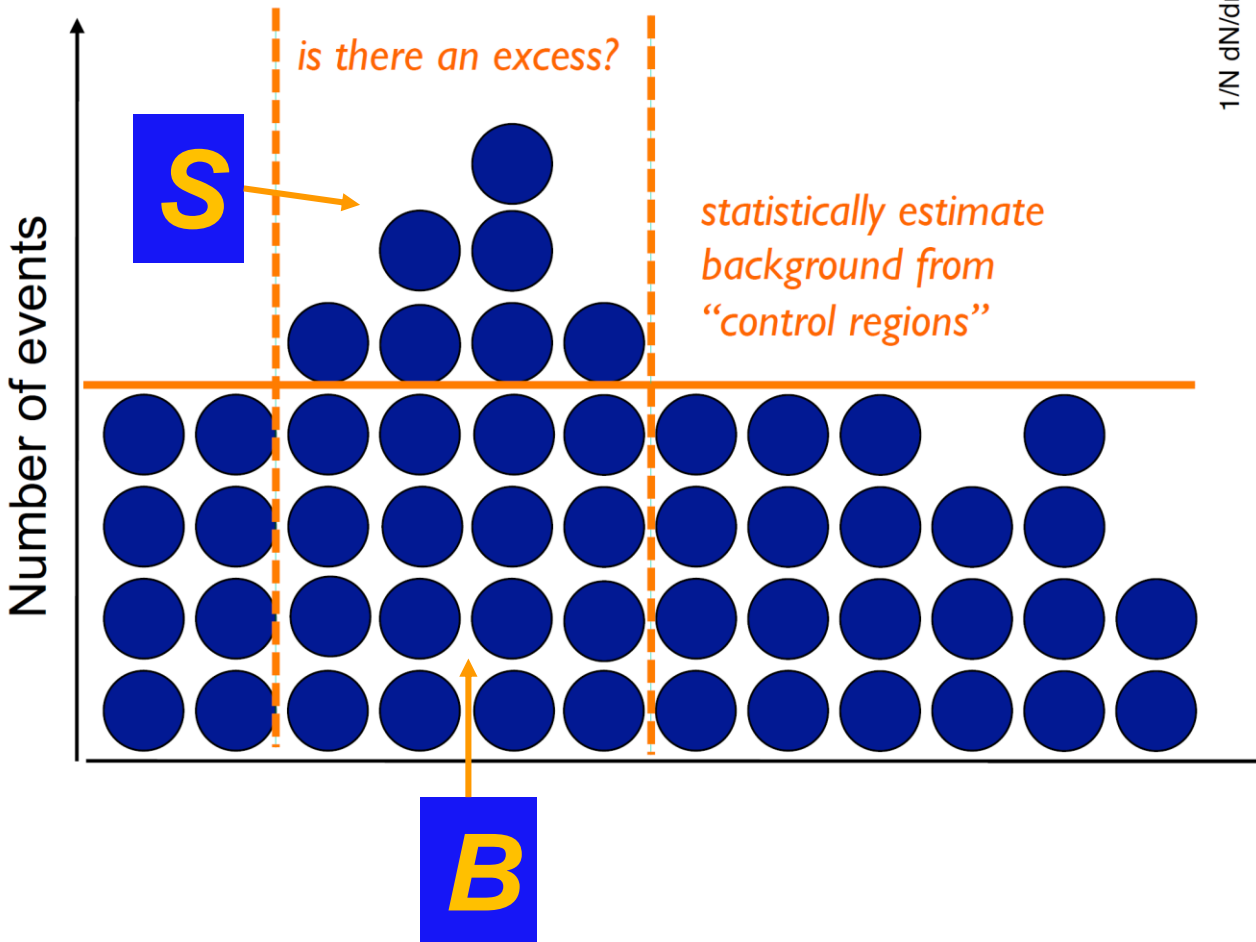
Измерение фона



- моделирование методом Монте-Карло
- измерение с помощью боковых полос

Извлечение сигнала из фона

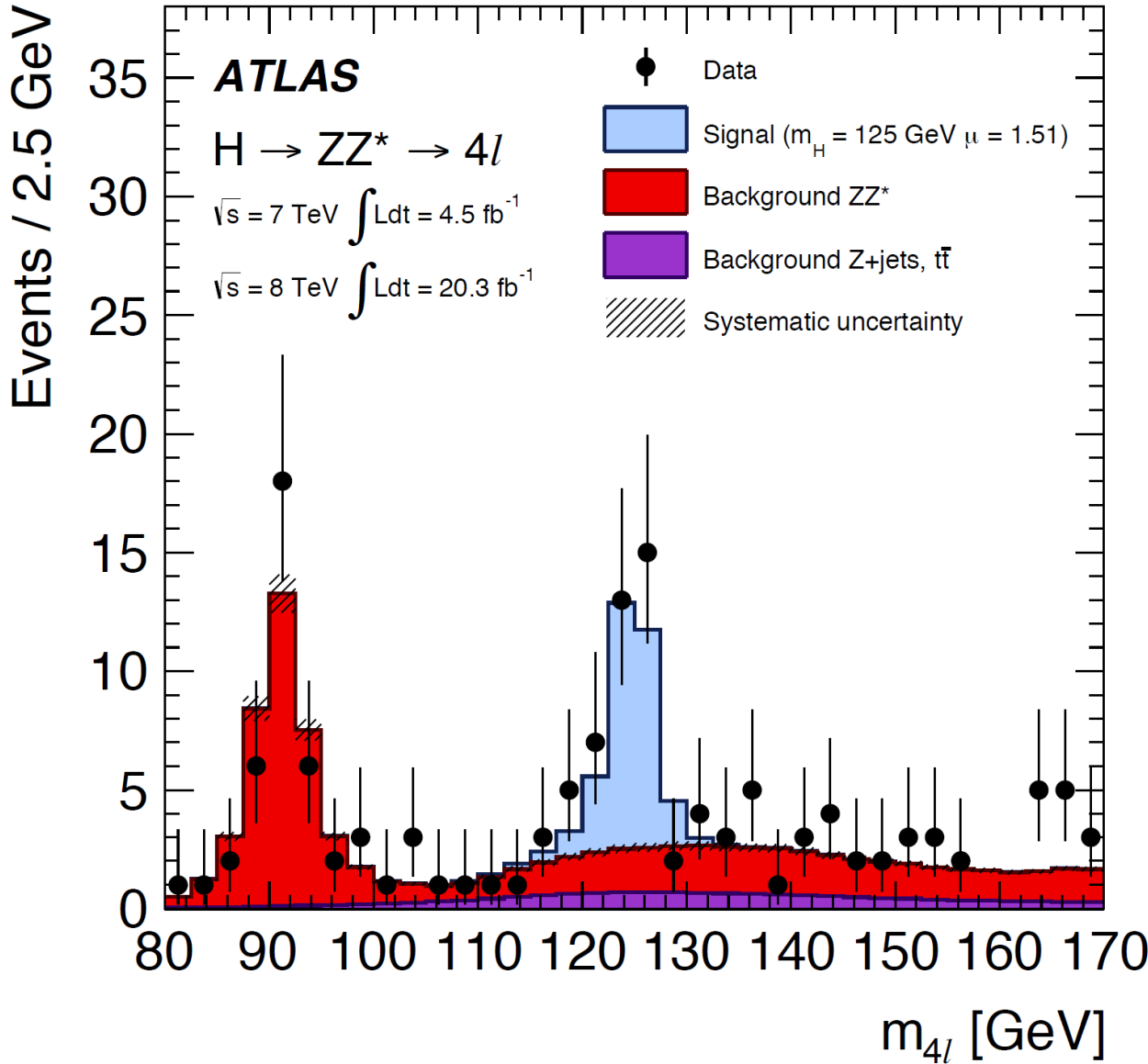
$$M = \sqrt{\left(\sum E_i\right)^2 - \left(\sum \vec{p}_i\right)^2}$$



$$Z \sim \frac{S}{\sqrt{B}}$$

m_{4l}

Значительно ли превышение?



$$Z \sim \frac{S}{\sqrt{B}}$$

3σ is an evidence

5σ is a discovery

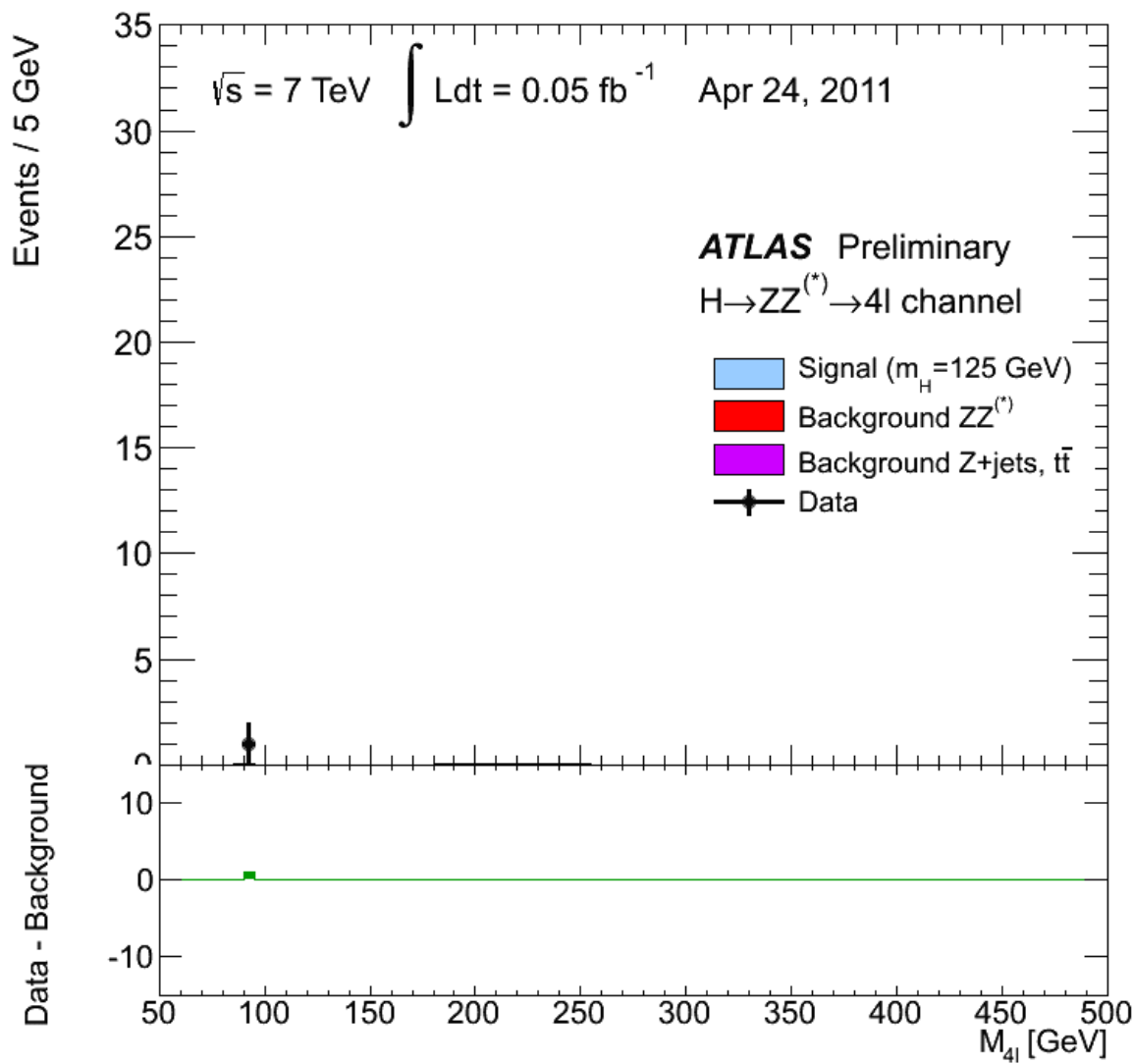
Пять стандартных отклонений

- 5σ -

(1-in-3.5 миллионов шанс

произойти случайно) требуется для утверждения об открытии новой частицы.

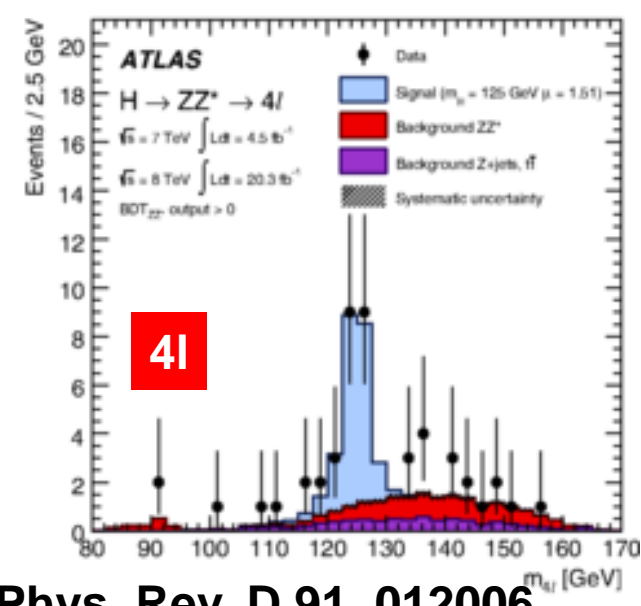
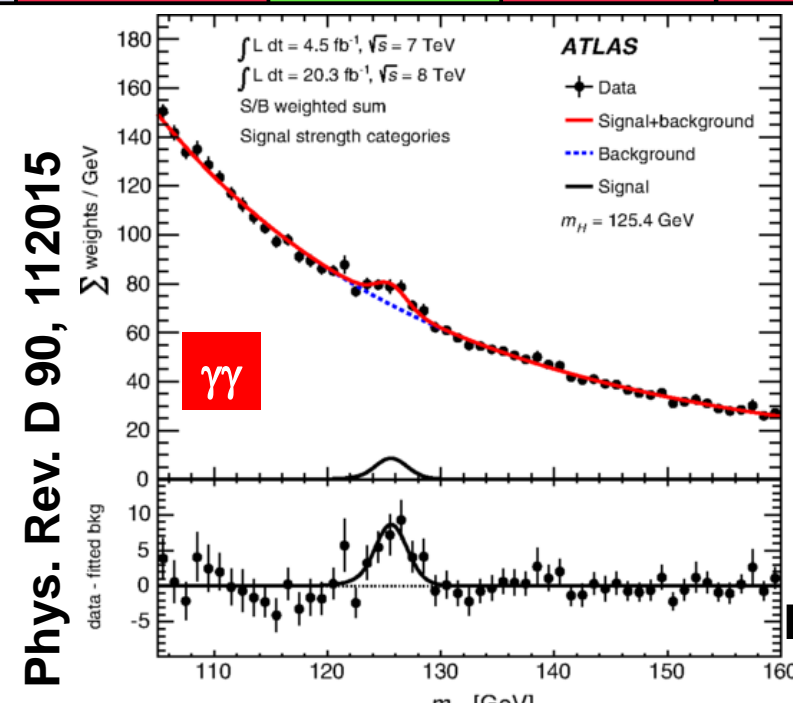
Увеличение значимости со временем



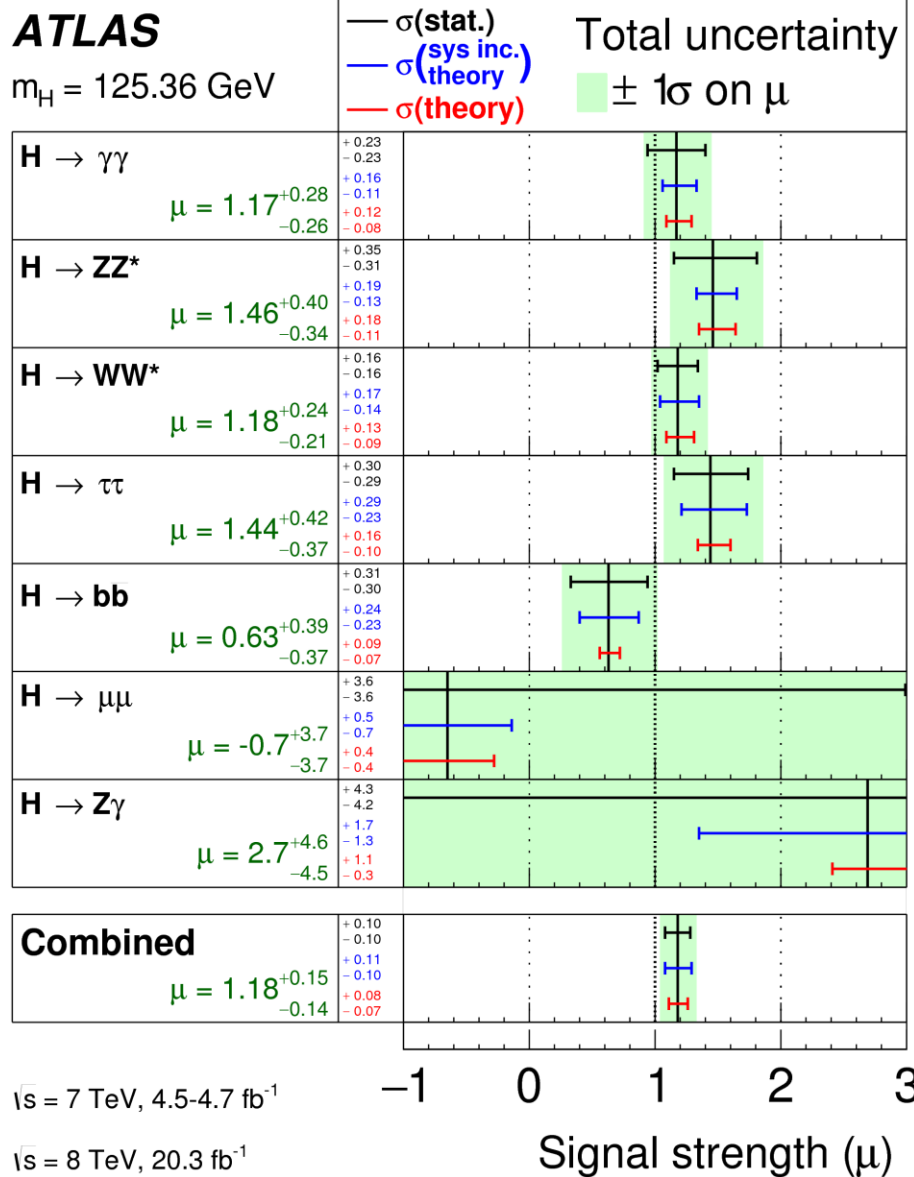
Higgs Boson Decays ($m_H=125\text{GeV}$)

Mode	Sensitivity	Mass res.	S/B (incl)	rate	comments
$ZZ^*\rightarrow 4l$					very pure; m_H ; SpinCP
$\gamma\gamma$					m_H ; via loop
$WW\rightarrow l\nu l\nu$					high rate
$\tau\tau$					mainly VBF (sensitivity)
bb					mainly VH (trigger,QCD)
$ZZ^*\rightarrow llqq/lvvv$					high-mass (mainly)
$WW\rightarrow l\nu qq$					high-mass (mainly)
$\mu\mu$					rare
$Z\gamma$					

Mode	BR
bb	57.7%
WW	21.5%
gg	8.6%
$\tau\tau$	6.3%
cc	2.9%
ZZ	2.6%
$\gamma\gamma$	0.23%
$Z\gamma$	0.15%
$\mu\mu$	0.022%



Распады бозона Хиггса



Spin!

Спин (собственный момент импульса)

What's a particle spin?

“An amount of rotation
that is somehow
quantized”

An electron has always
an angular momentum of $\frac{1}{2} \hbar$
either in its direction of travel ($+\frac{1}{2} \hbar$)
or opposite to it ($-\frac{1}{2} \hbar$)



$$\hbar = 1.0545 \times 10^{-34} \text{ m}^2 \text{ kg / s}$$

Спин частиц СМ



fermions
(quarks, leptons)
spin = $+1/2, -1/2$



massive bosons
(W, Z bosons)
spin = $+1, 0, -1$



massless bosons
(photon, gluon)
spin = $+1, -1$

Спин и распад частицы

$$0 = \begin{matrix} \uparrow \\ 1 \end{matrix} + \begin{matrix} \downarrow \\ 1 \end{matrix}$$

photons

$$0 = \begin{matrix} \uparrow \\ \frac{1}{2} \end{matrix} + \begin{matrix} \downarrow \\ \frac{1}{2} \end{matrix}$$

fermions
(quarks, leptons)

$$0 = \begin{matrix} \rightarrow \\ 1 \end{matrix} + \begin{matrix} \rightarrow \\ 1 \end{matrix}$$
$$0 = \begin{matrix} \uparrow \\ 1 \end{matrix} + \begin{matrix} \downarrow \\ 1 \end{matrix}$$

W, Z bosons

$$1 \neq \begin{matrix} \uparrow \\ 1 \end{matrix} + \begin{matrix} \downarrow \\ 1 \end{matrix}$$

photons

$$1 = \begin{matrix} \uparrow \\ \frac{1}{2} \end{matrix} + \begin{matrix} \uparrow \\ \frac{1}{2} \end{matrix}$$

fermions

$$1 = \begin{matrix} \uparrow \\ 1 \end{matrix} + \begin{matrix} \rightarrow \\ 1 \end{matrix}$$

W, Z bosons

$$2 = \begin{matrix} \uparrow \\ 1 \end{matrix} + \begin{matrix} \uparrow \\ 1 \end{matrix}$$

photons

$$2 \neq \begin{matrix} \frac{1}{2} \\ \uparrow \end{matrix} + \begin{matrix} \frac{1}{2} \\ \downarrow \end{matrix}$$

fermions

$$2 = \begin{matrix} \uparrow \\ 1 \end{matrix} + \begin{matrix} \uparrow \\ 1 \end{matrix}$$

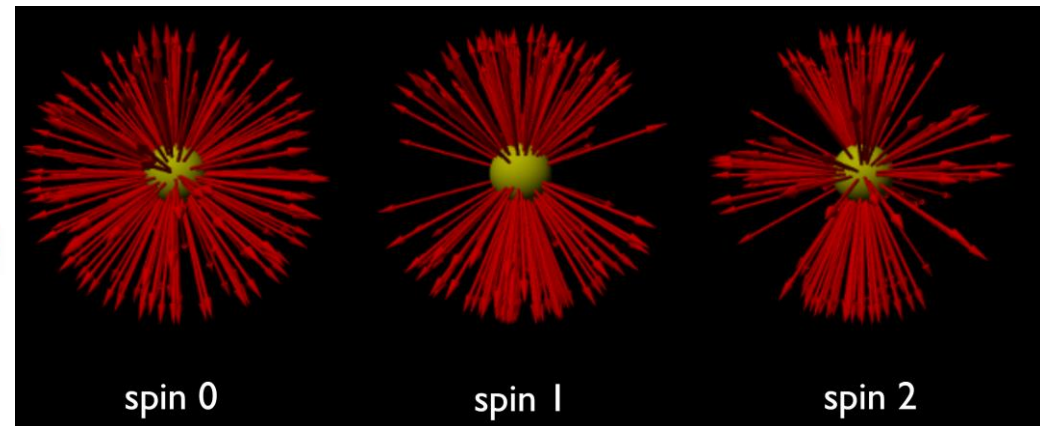
W, Z bosons

$$2 = \begin{matrix} \uparrow \\ \frac{1}{2} \end{matrix} + \begin{matrix} \uparrow \\ \frac{1}{2} \end{matrix} + \begin{matrix} \uparrow \\ 1 \end{matrix}$$

b quarks+gluon

$$2 \neq \begin{matrix} \frac{1}{2} \\ \uparrow \end{matrix} + \begin{matrix} \frac{1}{2} \\ \uparrow \end{matrix}$$

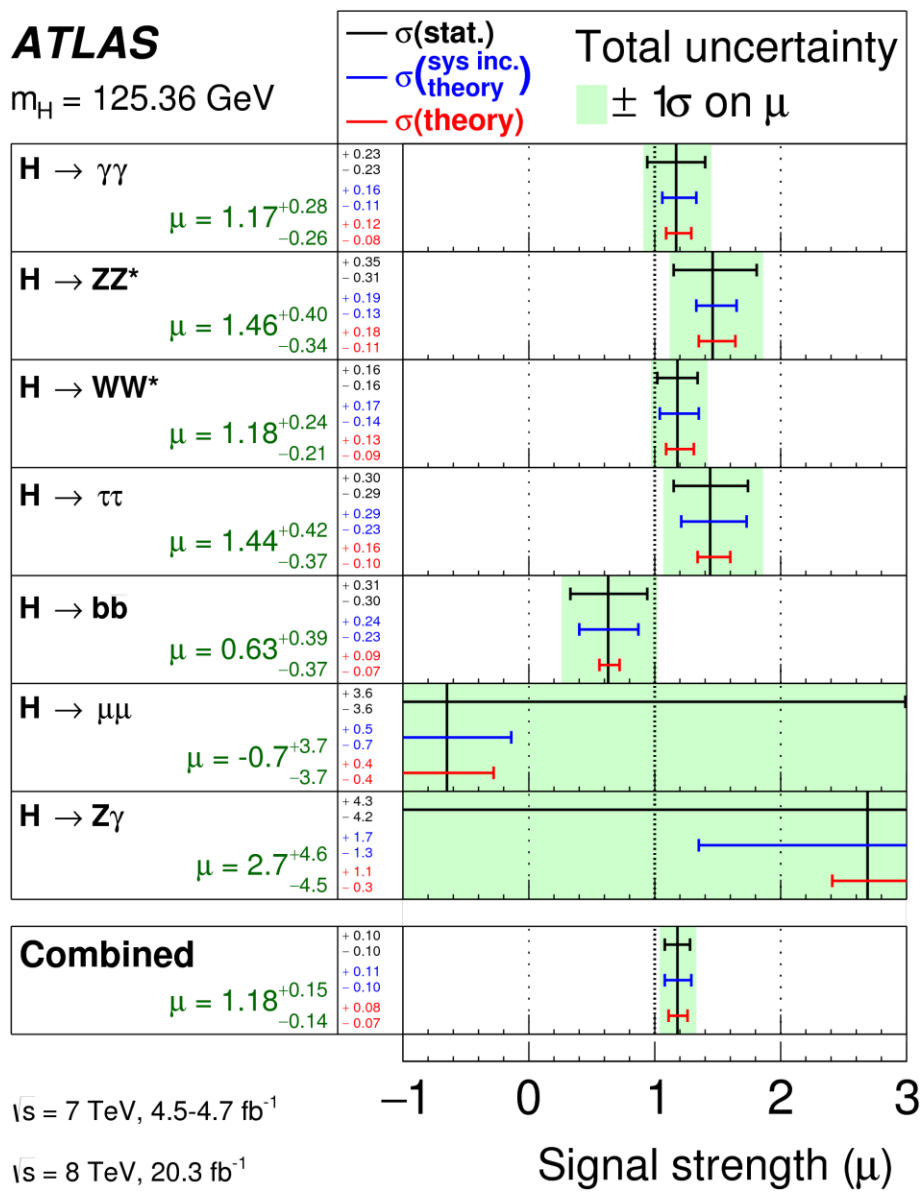
T leptons



Распады бозона Хиггса

ATLAS

$m_H = 125.36 \text{ GeV}$

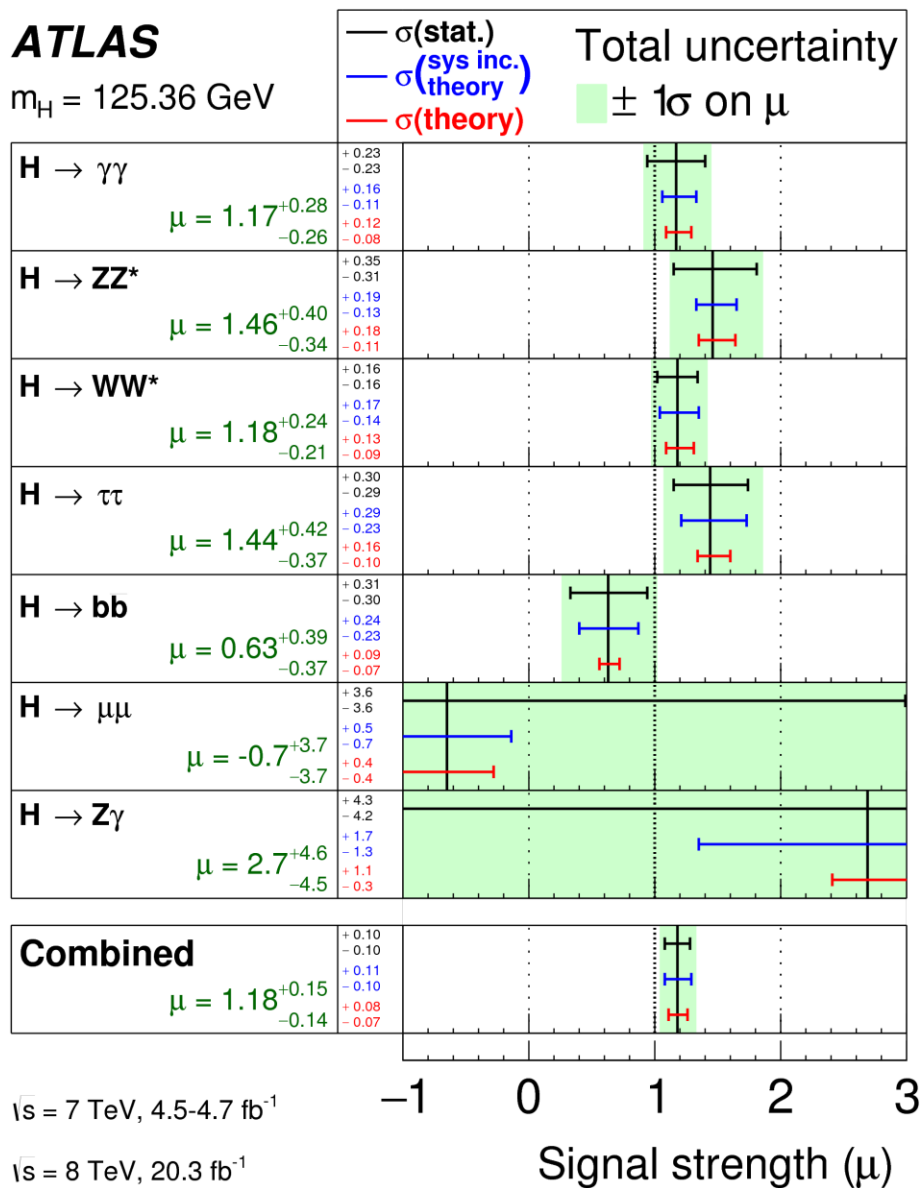


Spin	$\gamma\gamma$	ZZ	$\tau\tau$
0	😊	😊	😊
1	😢	😊	😊
2	😊	😊	😢

Распады бозона Хиггса

ATLAS

$m_H = 125.36 \text{ GeV}$



Spin	$\gamma\gamma$	ZZ	$\tau\tau$
0	😊	😊	😊
1	😢	😊	😊
2	😊	😊	😢

Хиггс частица со спин=0,
как предсказано СМ

Физика вне Стандартной Модели ?

С открытием бозона Хиггса мы нашли все частицы СМ, но на много вопросов нет ответа:

- Почему Хиггс легок?
- Что такое темная материя?
- Почему существует 3 поколения?

...

Как найти ответ на наши вопросы?

1968: SLAC <i>u</i> up quark	1974: Brookhaven & SLAC <i>c</i> charm quark	1995: Fermilab <i>t</i> top quark	1979: DESY <i>g</i> gluon
1968: SLAC <i>d</i> down quark	1947: Manchester Univ.. <i>s</i> strange quark	1977: Fermilab <i>b</i> bottom quark	1923: Washington Univ. γ photon
1956: Savannah River Plant ν_e electron neutrino	1982: Brookhaven ν_μ muon neutrino	2000: Fermilab ν_τ tau neutrino	1983: CERN <i>W</i> <i>W</i> boson
1897: Cavendish Laboratory <i>e</i> electron	1937: Caltech & Harvard μ muon	1976: SLAC τ tau	1983: CERN <i>Z</i> <i>Z</i> boson
			2012: CERN <i>H</i> Higgs boson

Физика вне Стандартной Модели ?

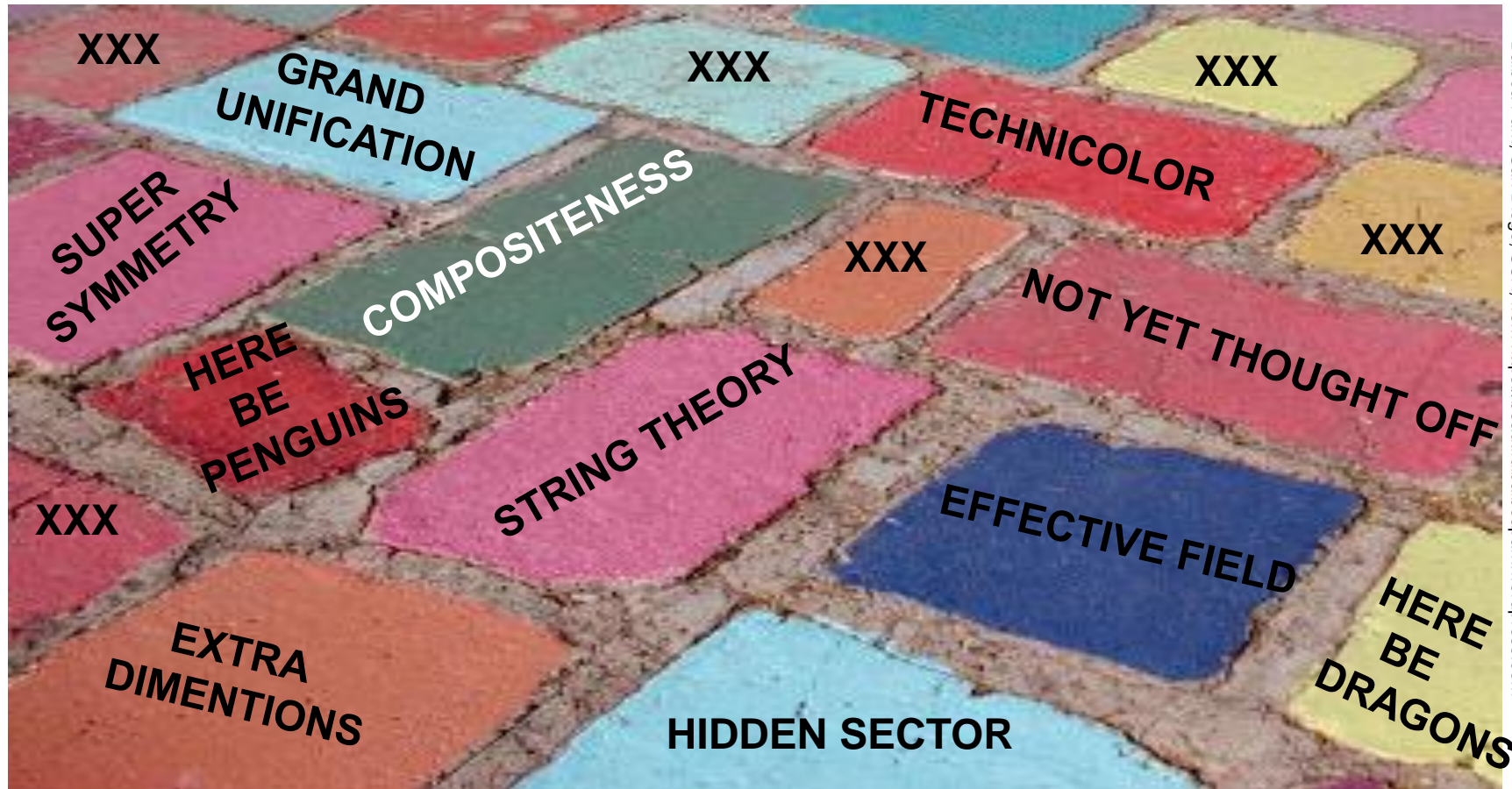
С открытием бозона Хиггса мы нашли все частицы СМ (кроме аксиона), но на много вопросов нет ответа:

- Почему Хиггс легок?
- Что такое темная материя?
- Почему существует 3 поколения?
- ...

Как найти ответ на наши вопросы?

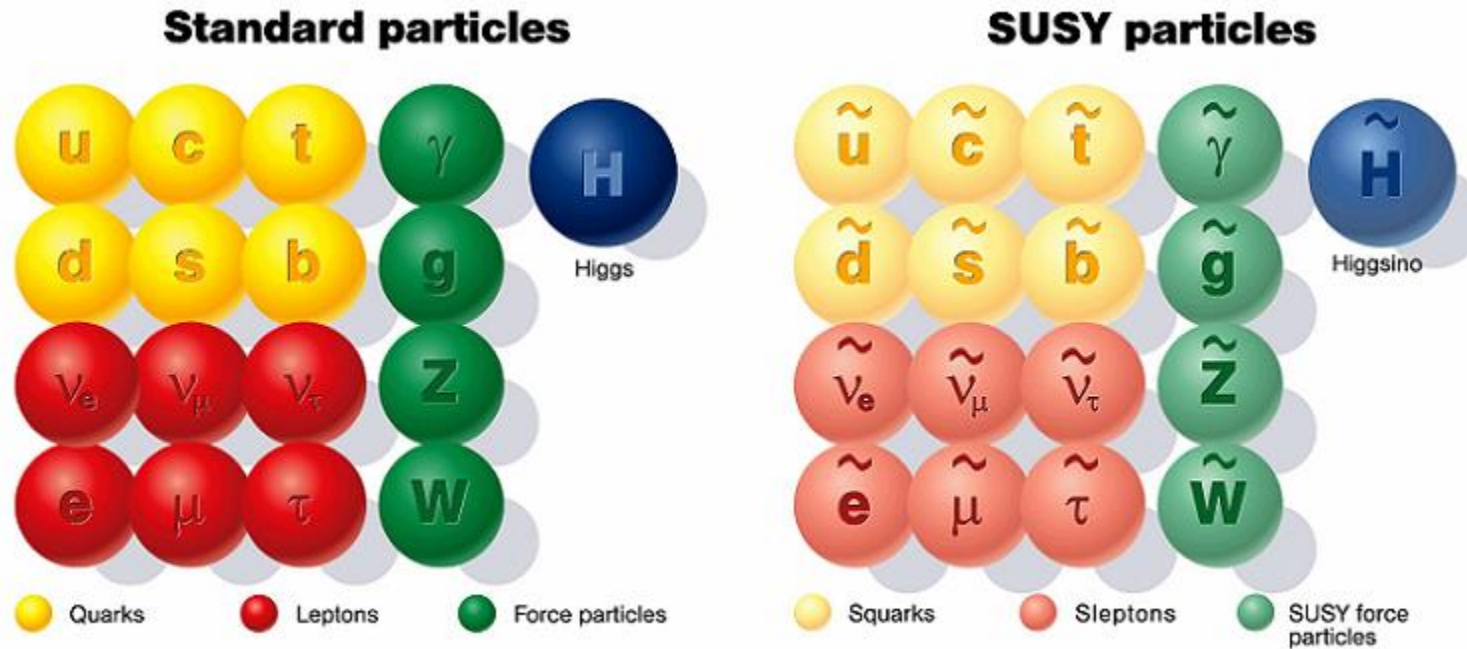


Мир вне СМ глазами теоретиков



Balboa Park, San Diego, USA, from <https://beautifulbalboapark.wordpress.com>

Суперсимметрия (SUSY)

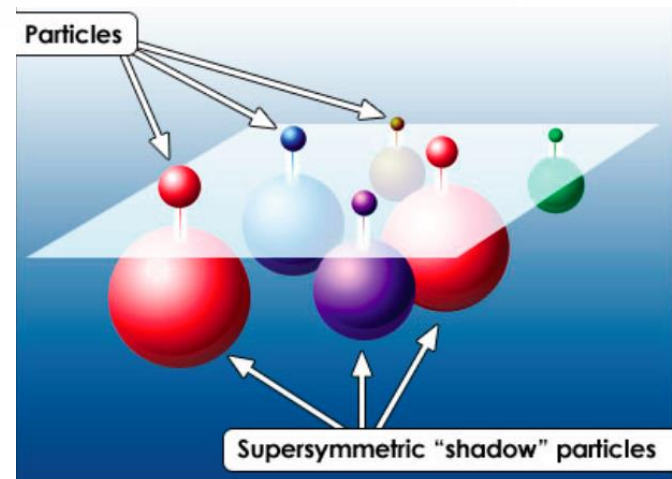


Симметрия между фермионами и бозонами.

У каждой частицы СМ со спином S
появляется партнер со спином S-1/2.

Так как мы не еще видели супер-частиц
Эта симметрия должна быть нарушена.

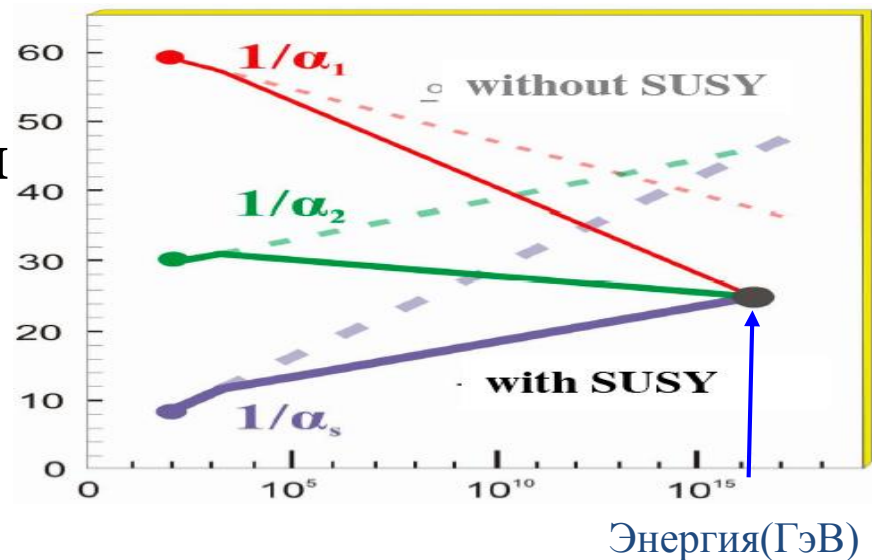
Много новых частиц и
новых параметров (120!). ☺



Зачем нужна Суперсимметрия?

- Объединение **электро-магнитной, слабой и сильной** констант взаимодействия при одной энергии
- Новая стабильная, нейтральная частица \Rightarrow идеальный кандидат для темной материи
- Простейшее обобщение СМ:

Минимальная
Суперсимметричная
Стандарная Модель (MSSM)



ATLAS SUSY Searches* - 95% CL Lower Limits

Status: July 2015

ATLAS Preliminary

$\sqrt{s} = 7, 8 \text{ TeV}$

Reference

Model	e, μ, τ, γ	Jets	E_T^{miss}	$\int \mathcal{L} dt [\text{fb}^{-1}]$	Mass limit	$\sqrt{s} = 7 \text{ TeV}$	$\sqrt{s} = 8 \text{ TeV}$	Reference
Inclusive Searches	MSUGRA/CMSSM	0-3 $e, \mu/1-2 \tau$	2-10 jets/3 b	Yes	20.3	\tilde{q}, \tilde{g}	1.8 TeV	1507.05525
	$\tilde{q}\tilde{q}, \tilde{q}\rightarrow q\tilde{\chi}_1^0$	0	2-6 jets	Yes	20.3	\tilde{q}	850 GeV	1405.7875
	$\tilde{q}\tilde{q}, \tilde{q}\rightarrow q\tilde{\chi}_1^0$ (compressed)	mono-jet	1-3 jets	Yes	20.3	\tilde{q}	100-440 GeV	1507.05525
	$\tilde{q}\tilde{q}, \tilde{q}\rightarrow q(\ell\ell/\ell\nu)\tilde{\chi}_1^0$	2 e, μ (off-Z)	2 jets	Yes	20.3	\tilde{q}	780 GeV	1503.03290
	$\tilde{g}\tilde{g}, \tilde{g}\rightarrow q\tilde{\chi}_1^\pm \rightarrow qqW^\pm\tilde{\chi}_1^0$	0	2-6 jets	Yes	20.3	\tilde{g}	1.33 TeV	1405.7875
	$\tilde{g}\tilde{g}, \tilde{g}\rightarrow q\tilde{\chi}_1^\pm \rightarrow qqW^\pm\tilde{\chi}_1^0$	0-1 e, μ	2-6 jets	Yes	20	\tilde{g}	1.26 TeV	1507.05525
	$\tilde{g}\tilde{g}, \tilde{g}\rightarrow q\tilde{\chi}_1^\pm \rightarrow qqW^\pm\tilde{\chi}_1^0$	2 e, μ	0-3 jets	-	20	\tilde{g}	1.32 TeV	1501.03555
	GMSB ($\tilde{\ell}$ NLSP)	1-2 $\tau + 0-1 \ell$	0-2 jets	Yes	20.3	\tilde{g}	1.6 TeV	1407.0603
	GGM (bino NLSP)	2 γ	-	Yes	20.3	g	1.29 TeV	1507.05493
	GGM (higgsino-bino NLSP)	γ	1 b	Yes	20.3	\tilde{g}	1.3 TeV	1507.05493
\tilde{g} med.	GGM (higgsino-bino NLSP)	γ	2 jets	Yes	20.3	\tilde{g}	1.25 TeV	1507.05493
	GGM (higgsino NLSP)	2 e, μ (Z)	2 jets	Yes	20.3	\tilde{g}	850 GeV	1503.03290
	Gravitino LSP	0	mono-jet	Yes	20.3	$F^{1/2} \text{ scale}$	865 GeV	1502.01518
	$\tilde{g}\tilde{g}, \tilde{g}\rightarrow b\bar{b}\tilde{\chi}_1^0$	0	3 b	Yes	20.1	\tilde{g}	1.25 TeV	1407.0600
	$\tilde{g}\tilde{g}, \tilde{g}\rightarrow t\bar{t}\tilde{\chi}_1^0$	0	7-10 jets	Yes	20.3	\tilde{g}	1.1 TeV	1308.1841
	$\tilde{g}\tilde{g}, \tilde{g}\rightarrow t\bar{t}\tilde{\chi}_1^\pm$	0-1 e, μ	3 b	Yes	20.1	\tilde{g}	1.34 TeV	1407.0600
	$\tilde{g}\tilde{g}, \tilde{g}\rightarrow t\bar{t}\tilde{\chi}_1^\pm$	0-1 e, μ	3 b	Yes	20.1	\tilde{g}	1.3 TeV	1407.0600
	$\tilde{b}_1 \tilde{b}_1, \tilde{b}_1 \rightarrow b\tilde{\chi}_1^0$	0	2 b	Yes	20.1	\tilde{b}_1	100-620 GeV	1308.2631
	$\tilde{b}_1 \tilde{b}_1, \tilde{b}_1 \rightarrow t\tilde{\chi}_1^\pm$	2 e, μ (SS)	0-3 b	Yes	20.3	\tilde{b}_1	275-440 GeV	1404.2500
	$\tilde{t}_1 \tilde{t}_1, \tilde{t}_1 \rightarrow b\tilde{\chi}_1^\pm$	1-2 e, μ	1-2 b	Yes	4.7/20.3	\tilde{t}_1	110-167 GeV	1209.2102, 1407.0583
3rd gen. squarks direct production	$\tilde{t}_1 \tilde{t}_1, \tilde{t}_1 \rightarrow Wb\tilde{\chi}_1^0$ or $t\tilde{\chi}_1^0$	0-2 e, μ	0-2 jets/1-2 b	Yes	20.3	\tilde{t}_1	230-460 GeV	1506.08616
	$\tilde{t}_1 \tilde{t}_1, \tilde{t}_1 \rightarrow c\tilde{\chi}_1^0$	0	mono-jet/c-tag	Yes	20.3	\tilde{t}_1	90-191 GeV	1407.0608
	$\tilde{t}_1 \tilde{t}_1$ (natural GMSB)	2 e, μ (Z)	1 b	Yes	20.3	\tilde{t}_1	210-700 GeV	1403.5222
	$\tilde{t}_2 \tilde{t}_2, \tilde{t}_2 \rightarrow \tilde{t}_1 + Z$	3 e, μ (Z)	1 b	Yes	20.3	\tilde{t}_2	90-240 GeV	1403.5222
	$\tilde{t}_1 \tilde{t}_1 \tilde{L}_R, \tilde{t}_1 \rightarrow \ell\tilde{\chi}_1^0$	2 e, μ	0	Yes	20.3	\tilde{t}_1	150-580 GeV	1403.5294
	$\tilde{t}_1 \tilde{t}_1 \tilde{L}_R, \tilde{t}_1 \rightarrow \tilde{\nu}v(\ell\tilde{\nu})$	2 e, μ	0	Yes	20.3	\tilde{t}_1^\pm	90-325 GeV	1403.5294
	$\tilde{t}_1 \tilde{t}_1 \tilde{L}_R, \tilde{t}_1 \rightarrow \tilde{\tau}v(\tilde{\tau}\nu)$	2 τ	-	Yes	20.3	\tilde{t}_1^\pm	140-465 GeV	1407.0350
	$\tilde{t}_1 \tilde{t}_1 \rightarrow \tilde{\nu}v \tilde{\nu} \tilde{\nu} v$	3 e, μ	0	Yes	20.3	\tilde{t}_1^\pm	100-350 GeV	1402.7029
	$\tilde{t}_1 \tilde{t}_1 \rightarrow W\tilde{\chi}_1^0 Z\tilde{\chi}_1^0$	2-3 e, μ	0-2 jets	Yes	20.3	$\tilde{t}_1^\pm, \tilde{t}_1^0$	700 GeV	1403.5294, 1402.7029
	$\tilde{t}_1 \tilde{t}_1 \rightarrow W\tilde{\chi}_1^0 h\tilde{\chi}_1^1, h \rightarrow b\bar{b}/WW/\tau\tau/\gamma\gamma$	e, μ, γ	0-2 b	Yes	20.3	$\tilde{t}_1^\pm, \tilde{t}_1^0$	420 GeV	1501.07110
EW direct	$\tilde{\chi}_{2,3}^0, \tilde{\chi}_{2,3}^0 \rightarrow \tilde{t}_1 \tilde{t}_1$	4 e, μ	0	Yes	20.3	$\tilde{t}_1^\pm, \tilde{t}_1^0$	250 GeV	1405.5086
	GGM (wino NLSP) weak prod.	1 $e, \mu + \gamma$	-	Yes	20.3	$\tilde{t}_{2,3}$	620 GeV	1507.05493
	Direct $\tilde{\chi}_1^+ \tilde{\chi}_1^-$ prod., long-lived $\tilde{\chi}_1^\pm$	Disapp. trk	1 jet	Yes	20.3	$\tilde{\chi}_1^\pm$	90-325 GeV	1310.3675
	Direct $\tilde{\chi}_1^+ \tilde{\chi}_1^-$ prod., long-lived $\tilde{\chi}_1^\pm$	dE/dx trk	-	Yes	18.4	$\tilde{\chi}_1^\pm$	482 GeV	1506.05332
	Stable, stopped \tilde{g} R-hadron	0	1-5 jets	Yes	27.9	\tilde{g}	832 GeV	1310.6584
	Stable \tilde{g} R-hadron	trk	-	-	19.1	\tilde{g}	1.27 TeV	1411.6795
	GMSB, stable $\tilde{\tau}, \tilde{\chi}_1^0 \rightarrow \tilde{\tau}(\tilde{e}, \tilde{\mu}) + \tau(e, \mu)$	1-2 μ	-	-	19.1	$\tilde{\chi}_1^0$	537 GeV	1411.6795
	GMSB, $\tilde{\chi}_1^0 \rightarrow \gamma\tilde{G}$, long-lived $\tilde{\chi}_1^0$	2 γ	-	Yes	20.3	$\tilde{\chi}_1^0$	435 GeV	1409.5542
	$\tilde{g}\tilde{g}, \tilde{g}\rightarrow ee/\nu e/\nu\mu/\nu\mu$	displ. ee/e $\mu/\mu\mu$	-	-	20.3	$\tilde{\chi}_1^0$	1.0 TeV	1504.05162
	GGM $\tilde{g}\tilde{g}, \tilde{g}\rightarrow Z\tilde{G}$	displ. vtx + jets	-	-	20.3	$\tilde{\chi}_1^0$	1.0 TeV	1504.05162
Long-lived particles	LFV $pp \rightarrow \tilde{v}_e + X, \tilde{v}_e \rightarrow e\mu/e\tau/\mu\tau$	$e\mu, e\tau, \mu\tau$	-	-	20.3	\tilde{v}_e	270 GeV	1503.04430
	Bilinear RPV CMSSM	2 e, μ (SS)	0-3 b	Yes	20.3	\tilde{q}, \tilde{g}	1.35 TeV	1404.2500
	$\tilde{\chi}_1^+ \tilde{\chi}_1^- \rightarrow W\tilde{\chi}_1^0, \tilde{\chi}_1^0 \rightarrow ee\tilde{v}_e, e\mu\tilde{v}_e$	4 e, μ	-	Yes	20.3	$\tilde{\chi}_1^\pm$	750 GeV	1405.5086
	$\tilde{\chi}_1^+ \tilde{\chi}_1^- \rightarrow W\tilde{\chi}_1^0, \tilde{\chi}_1^0 \rightarrow \tau\tau\tilde{v}_e, e\tau\tilde{v}_\tau$	3 $e, \mu + \tau$	-	Yes	20.3	$\tilde{\chi}_1^\pm$	450 GeV	1405.5086
	$\tilde{g}\tilde{g}, \tilde{g}\rightarrow qqq$	0	6-7 jets	-	20.3	\tilde{g}	917 GeV	1502.05686
	$\tilde{g}\tilde{g}, \tilde{g}\rightarrow q\tilde{\chi}_1^0, \tilde{\chi}_1^0 \rightarrow qqq$	0	6-7 jets	-	20.3	\tilde{g}	870 GeV	1404.250
	$\tilde{g}\tilde{g}, \tilde{g}\rightarrow \tilde{t}_1 t, \tilde{t}_1 \rightarrow bs$	2 e, μ (SS)	0-3 b	Yes	20.3	\tilde{g}	850 GeV	ATLAS-CONF-2015-026
	$\tilde{t}_1 \tilde{t}_1, \tilde{t}_1 \rightarrow bs$	0	2 jets + 2 b	-	20.3	\tilde{t}_1	100-308 GeV	ATLAS-CONF-2015-015
	$\tilde{t}_1 \tilde{t}_1, \tilde{t}_1 \rightarrow bl$	2 e, μ	2 b	-	20.3	\tilde{t}_1	0.4-1.0 TeV	BR($\tilde{t}_1 \rightarrow be/\mu$) > 20%
	Scalar charm, $\tilde{c} \rightarrow c\tilde{\chi}_1^0$	0	2 c	Yes	20.3	\tilde{c}	490 GeV	$m(\tilde{c}) < 200 \text{ GeV}$
RPV	$\tilde{v}_e \tilde{v}_e \rightarrow \tilde{v}_e \tilde{v}_e$	-	-	-	-	$\lambda'_{111}=0.11, \lambda_{132/133/233}=0.07$	1501.01325	
	$\tilde{q} \tilde{q} \rightarrow \tilde{q} \tilde{q}$	-	-	-	-	$m(\tilde{q})=m(\tilde{g}), c\tau_{LSF} < 1 \text{ mm}$	1405.5086	
Other	$\tilde{g} \tilde{g} \rightarrow \tilde{g} \tilde{g}$	-	-	-	-	$m(\tilde{g}) > 0.2 \times m(\tilde{\chi}_1^\pm), \lambda_{121} \neq 0$	1404.250	
	$\tilde{\chi}_1^0 \tilde{\chi}_1^0 \rightarrow \tilde{\chi}_1^0 \tilde{\chi}_1^0$	-	-	-	-	$m(\tilde{\chi}_1^0) > 0.2 \times m(\tilde{\chi}_1^\pm), \lambda_{133} \neq 0$	1405.5086	
Other	$\tilde{g} \tilde{g} \rightarrow \tilde{g} \tilde{g}$	-	-	-	-	$BR(t)=BR(b)=BR(c)=0\%$	1502.05686	
	$\tilde{g} \tilde{g} \rightarrow \tilde{g} \tilde{g}$	-	-	-	-	$m(\tilde{g})=600 \text{ GeV}$	1404.250	

*Only a selection of the available mass limits on new states or phenomena is shown. All limits quoted are observed minus 1σ theoretical signal cross section uncertainty.

Дополнительные измерения

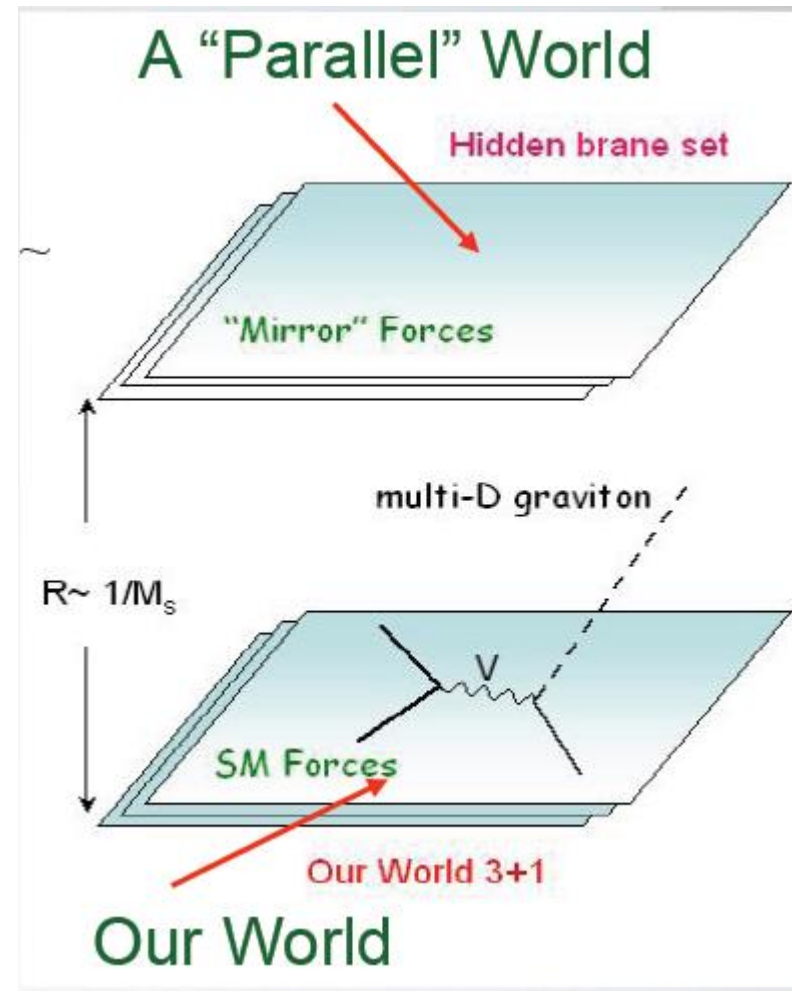
- Суперсимметрия не отвечает на все вопросы
 - Почему слабое взаимодействие в 10^{32} раз сильнее гравитационного
- Если существуют >1 новых измерения размером < мм, гравитационные эффекты могут быть в пределах энергий БАК
 - Гравитонные резонансы (G)
 - Производство **мини черных дыр (QBH)**
 - ...

новая масса Планка: M_D

новая длина Планка: L_D $L_D = \left(\frac{G_D \hbar}{c^3}\right)^{1/(n+2)}$

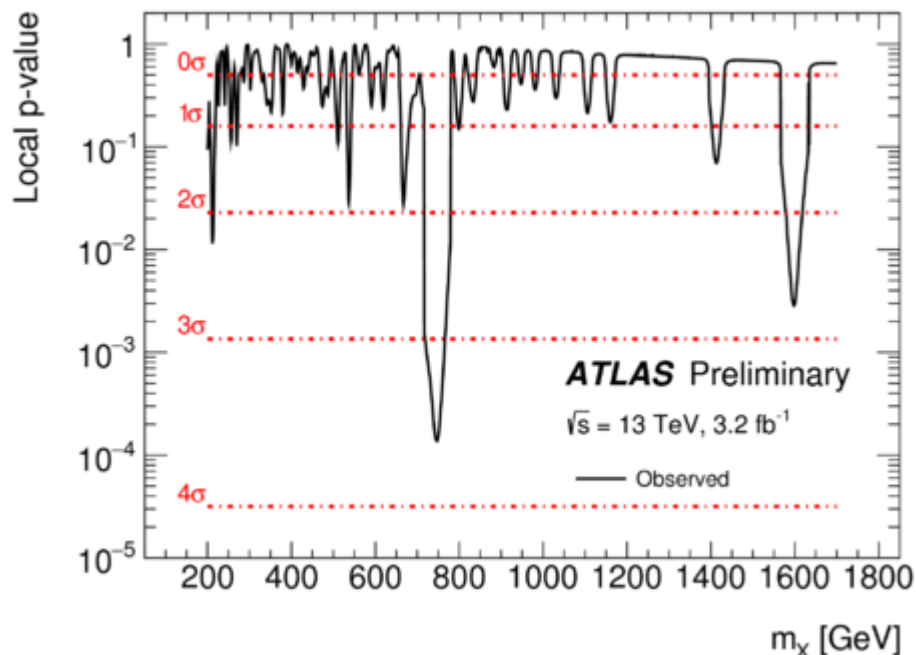
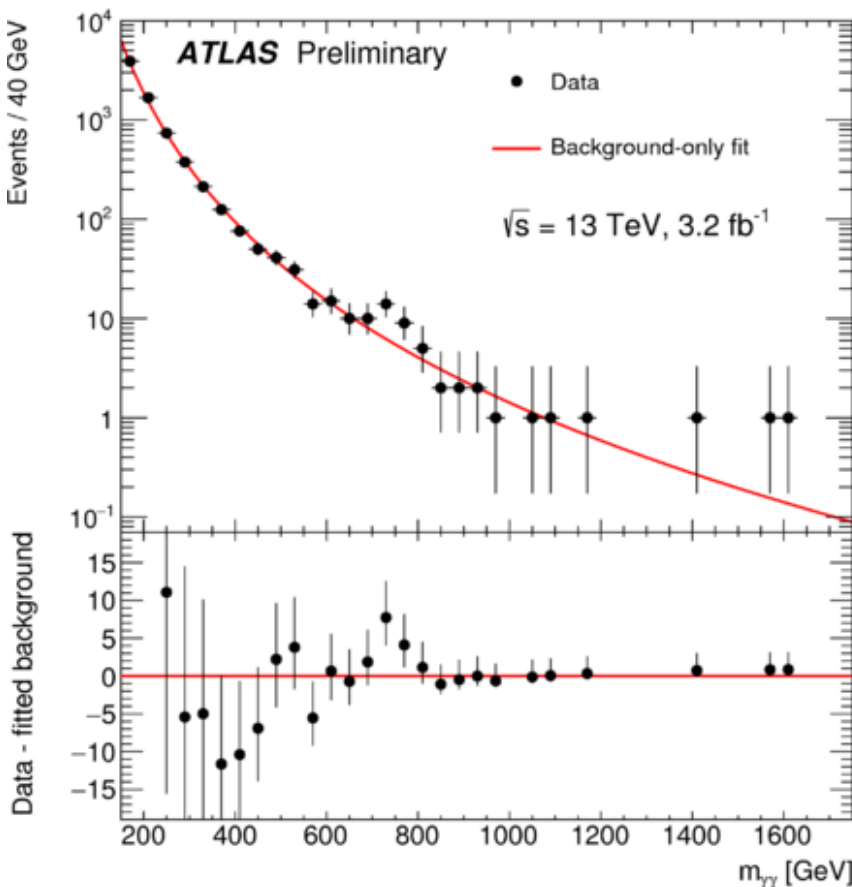
новая гравитационная

константа Ньютона: $G_D = \frac{(2\pi)^{n-1} \hbar^{n+1}}{4c^{n-1} M_D^{n+2}}$



Каналы поиска:
qq, qγ, γγ, ql, ll,
multi-jet etc.

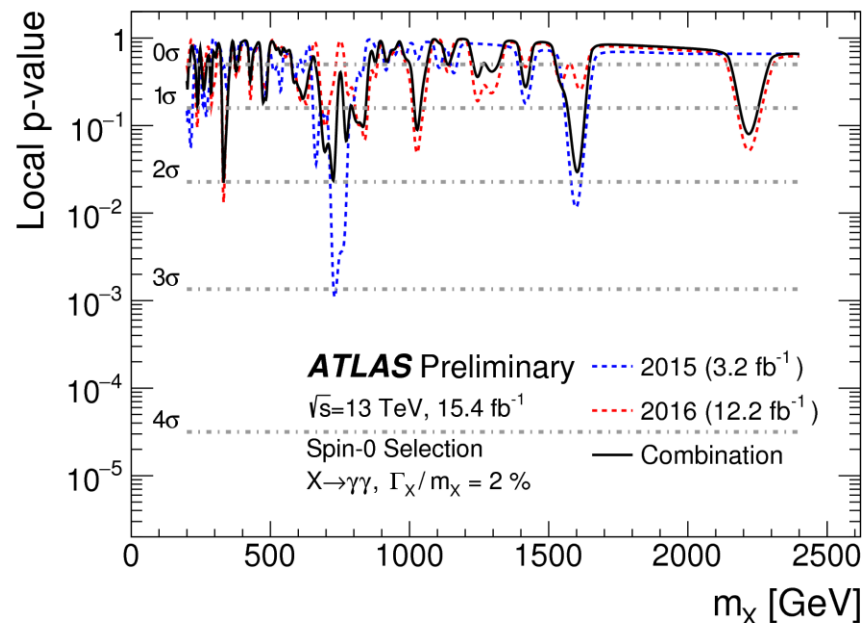
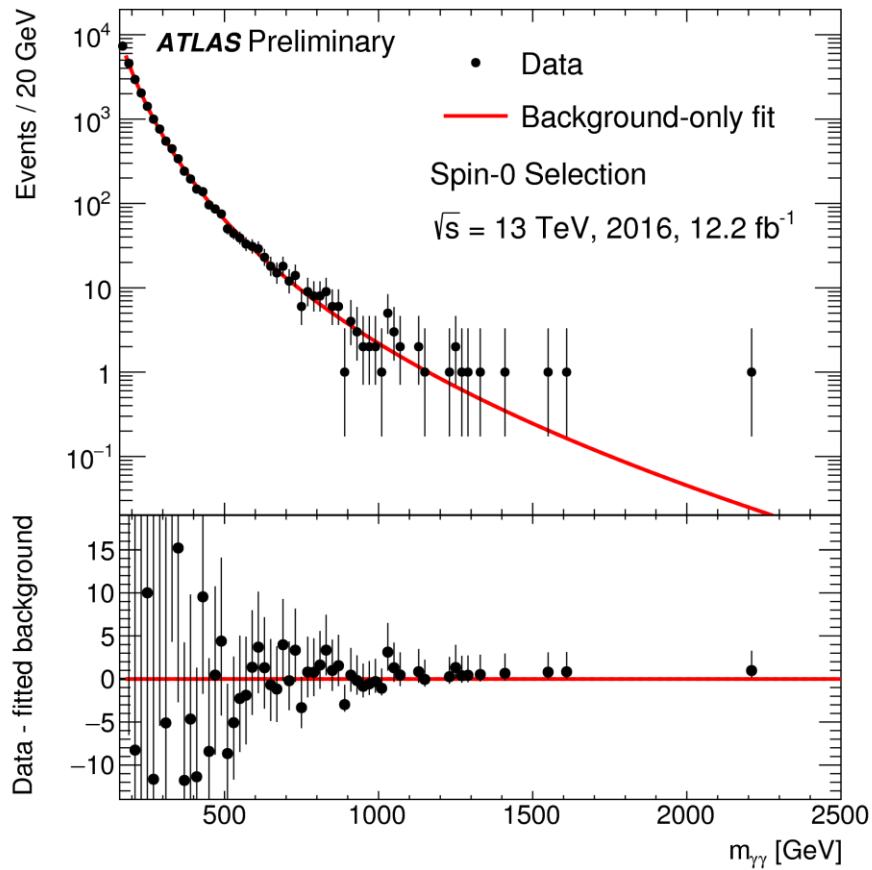
Ди-бозоны $\gamma\gamma$ (2015)



		Local σ	Global σ
ATLAS @ 750 GeV	NWA	3.6	2.0
	LWA (6%)	3.9	2.3
CMS @ 760 GeV	NWA	2.6	1.2
	LWA (6%)	~ 2	n/a

Интересный новый избыток событий в обоих экспериментах.

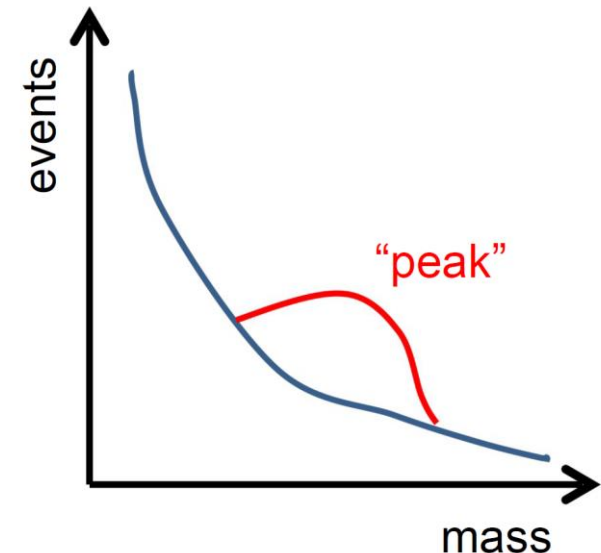
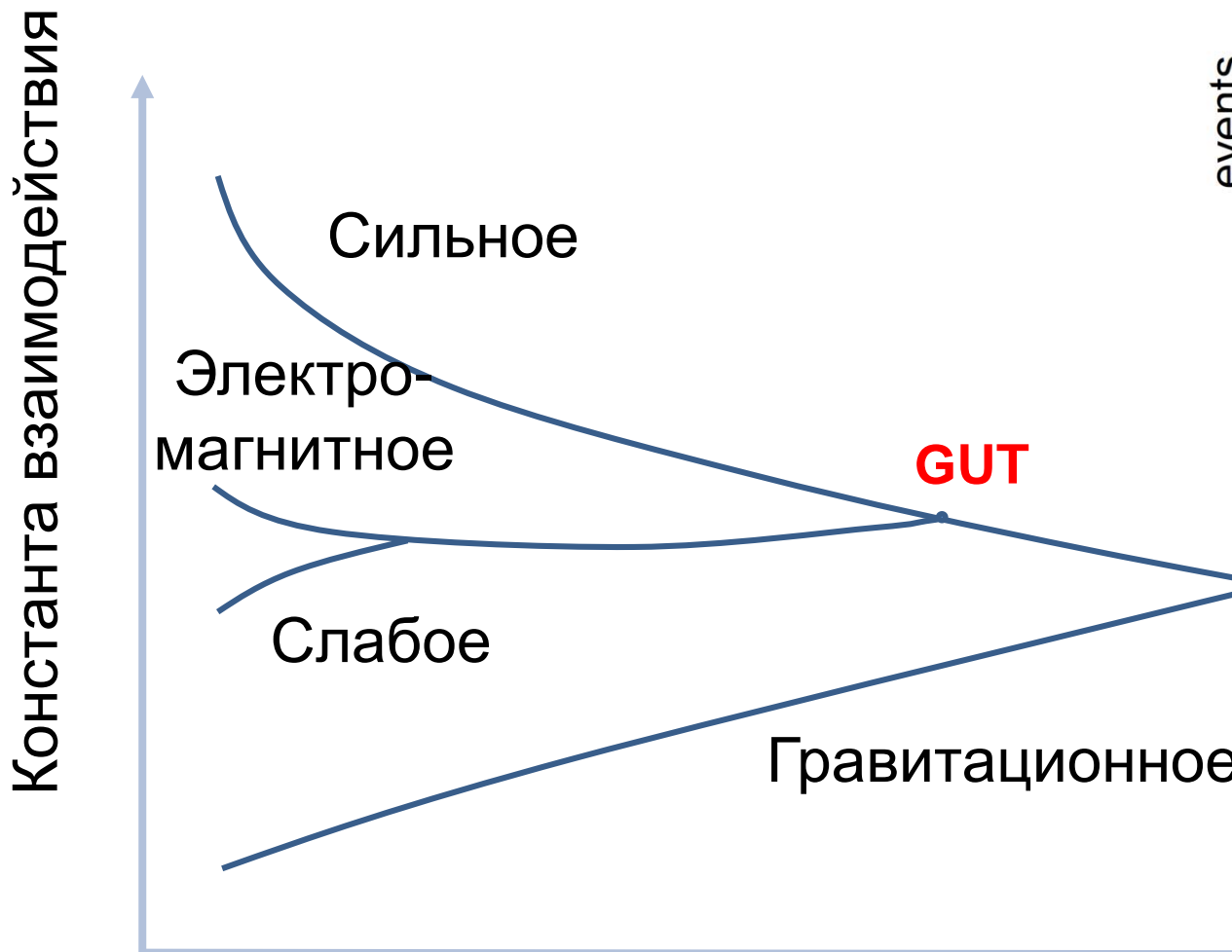
Ди-бозоны $\gamma\gamma$ (2015)



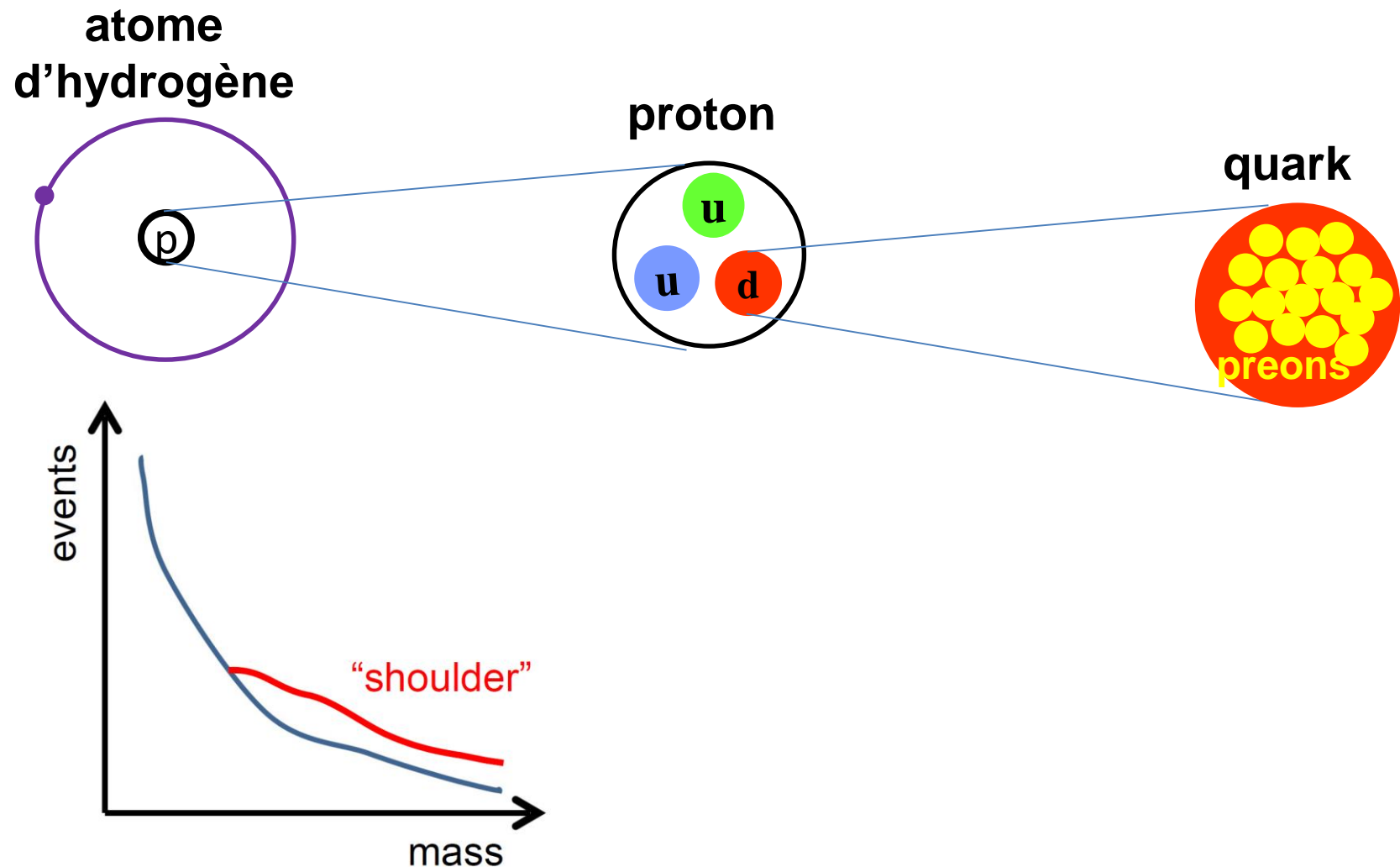
Новые данные не подвердили присутствие сигнала.

Теории великого объединения (GUT)

Предсказание: появление
новых бозонов
взаимодействия (Z' , W')



Подструктура



Di-Electron Event

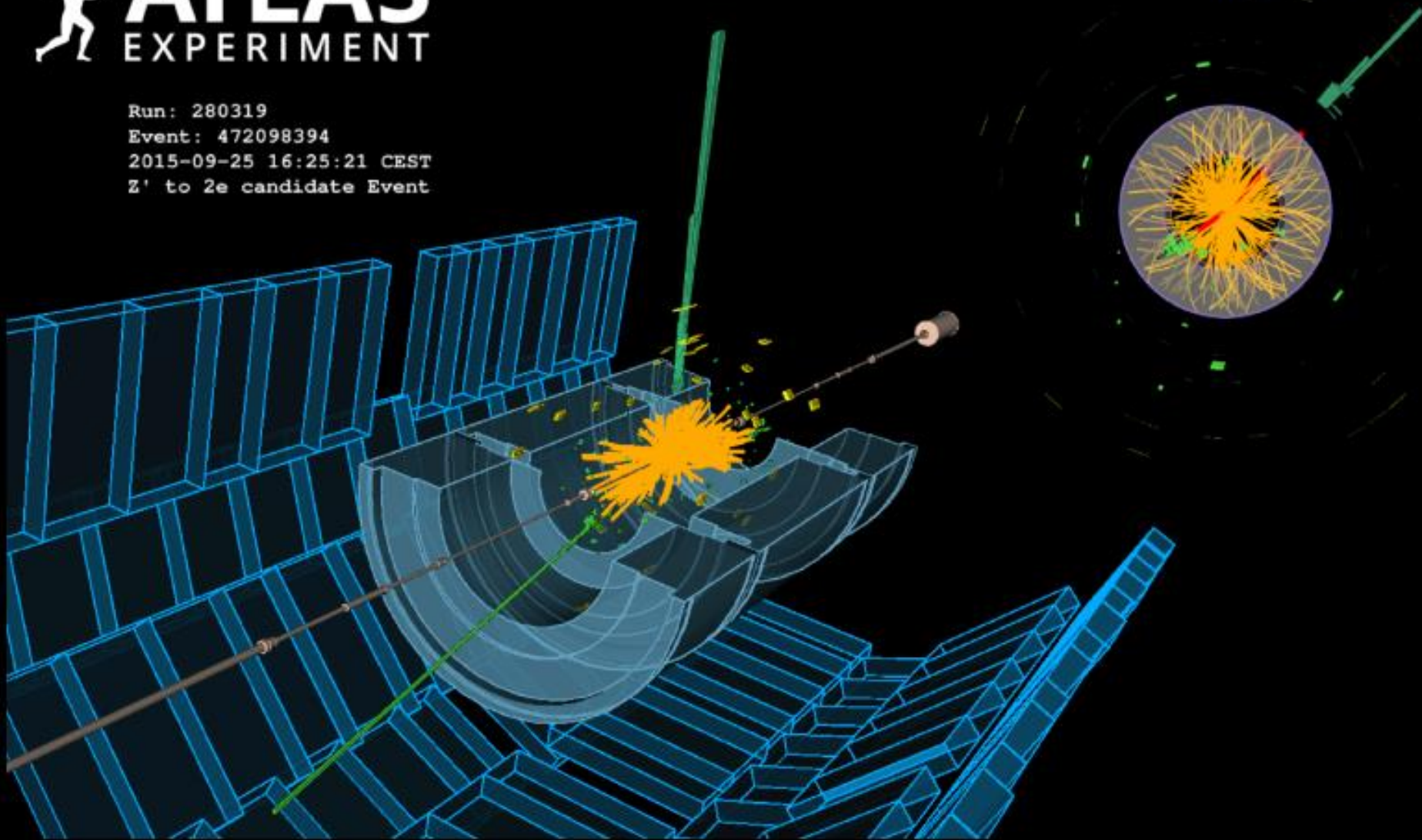
High Mass Dielectron

$ET_1 = 370 \text{ GeV}$ $ET_2 = 246 \text{ GeV}$

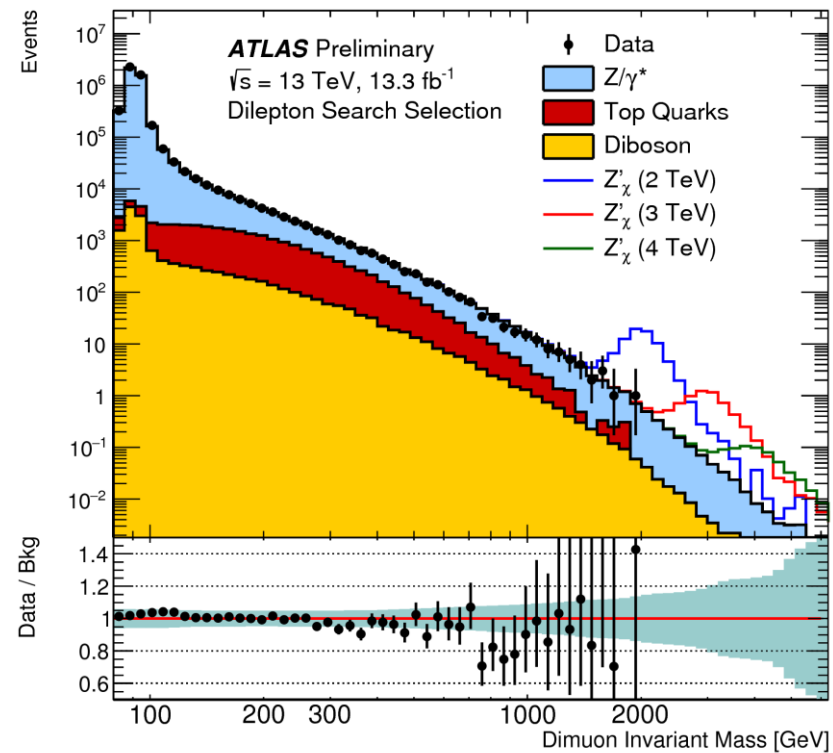
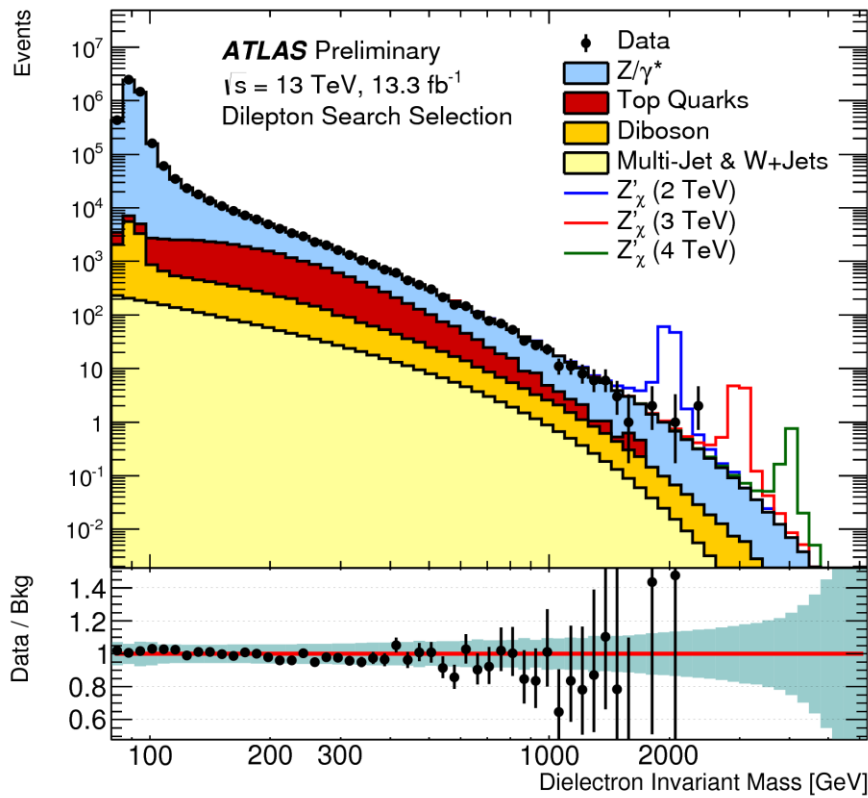
$m_{ee} = 1.8 \text{ TeV}$



Run: 280319
Event: 472098394
2015-09-25 16:25:21 CEST
 Z' to 2e candidate Event



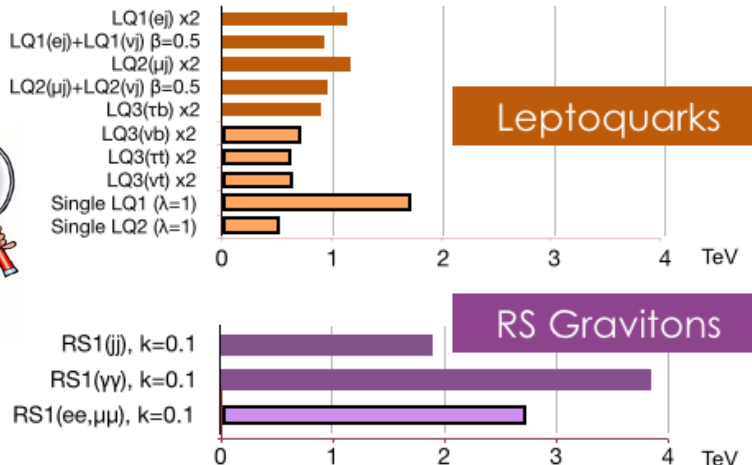
Спектр дилептонов



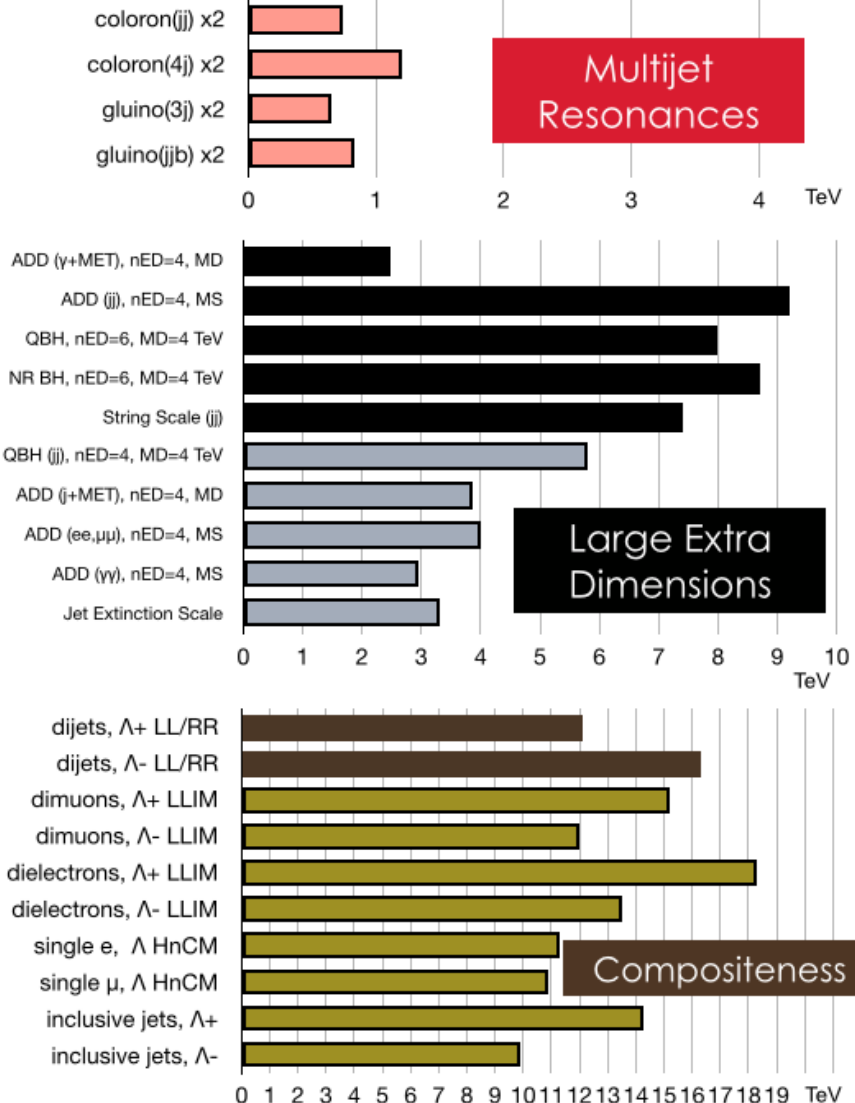
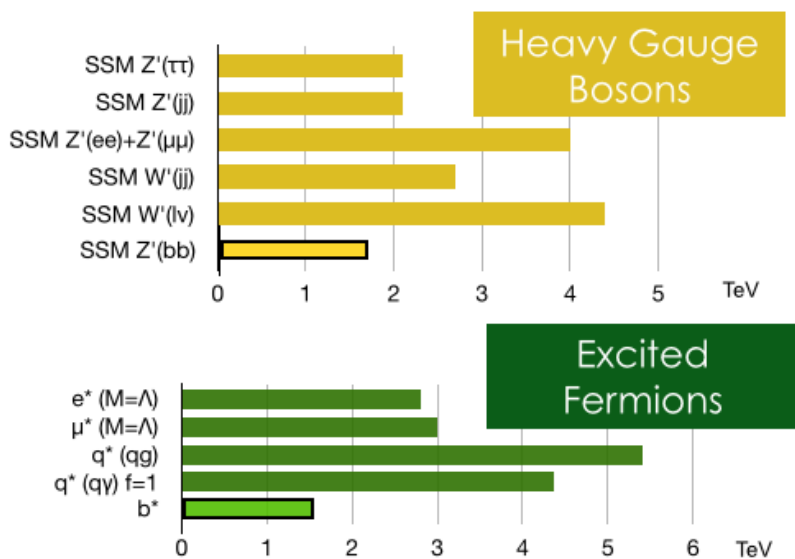
- Спектр соответствует предсказаниям СМ.
- Многие теоретические модели предсказывают сигналы с одинаковыми конечными состояниями.



13 TeV 8 TeV



CMS Preliminary



ATLAS Exotics Searches* - 95% CL Exclusion

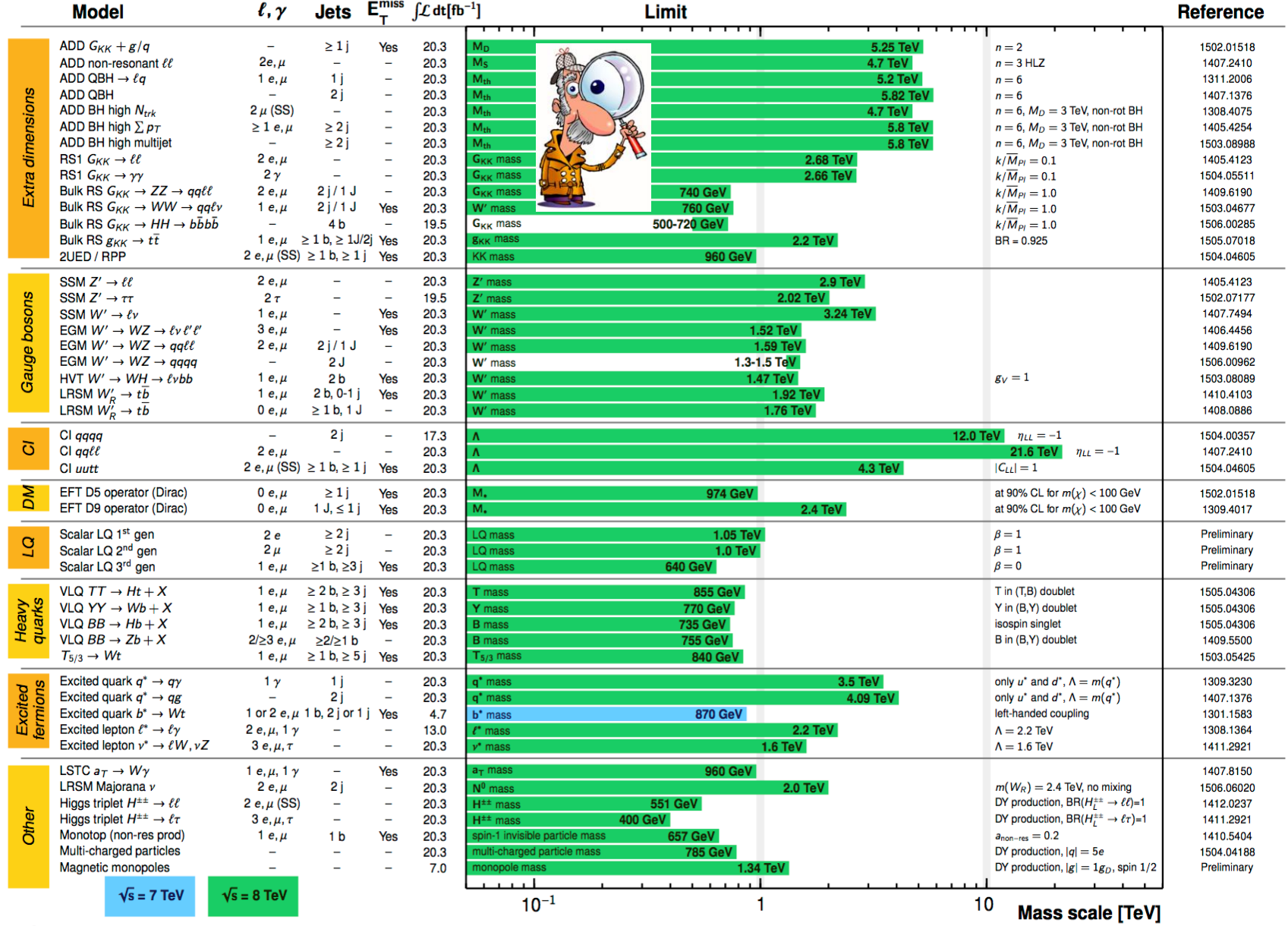
Status: July 2015

ATLAS Preliminary

$$\int \mathcal{L} dt = (4.7 - 20.3) \text{ fb}^{-1}$$

$\sqrt{s} = 7, 8 \text{ TeV}$

Reference



$\sqrt{s} = 7 \text{ TeV}$

$\sqrt{s} = 8 \text{ TeV}$

10^{-1}

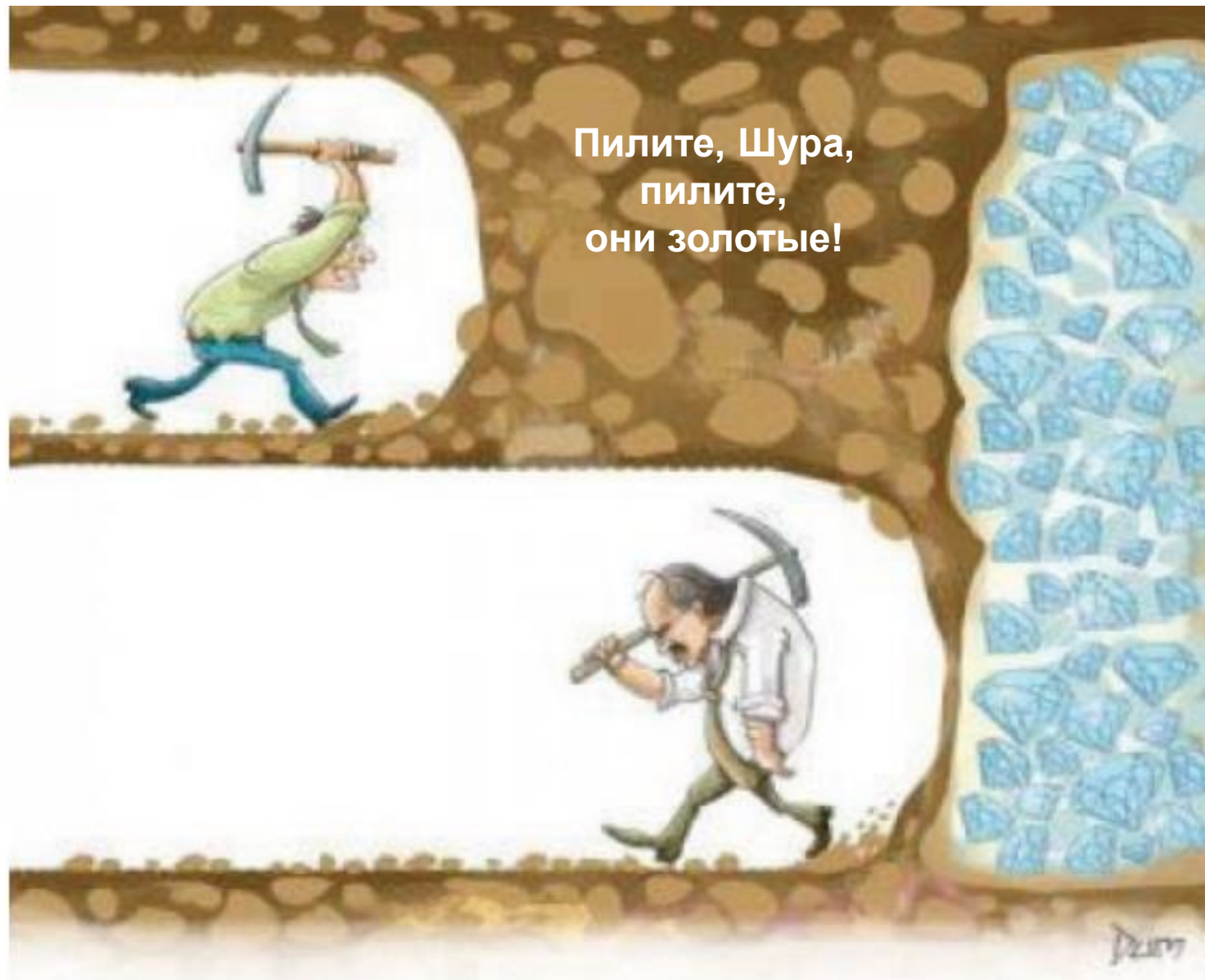
1

10

Mass scale [TeV]

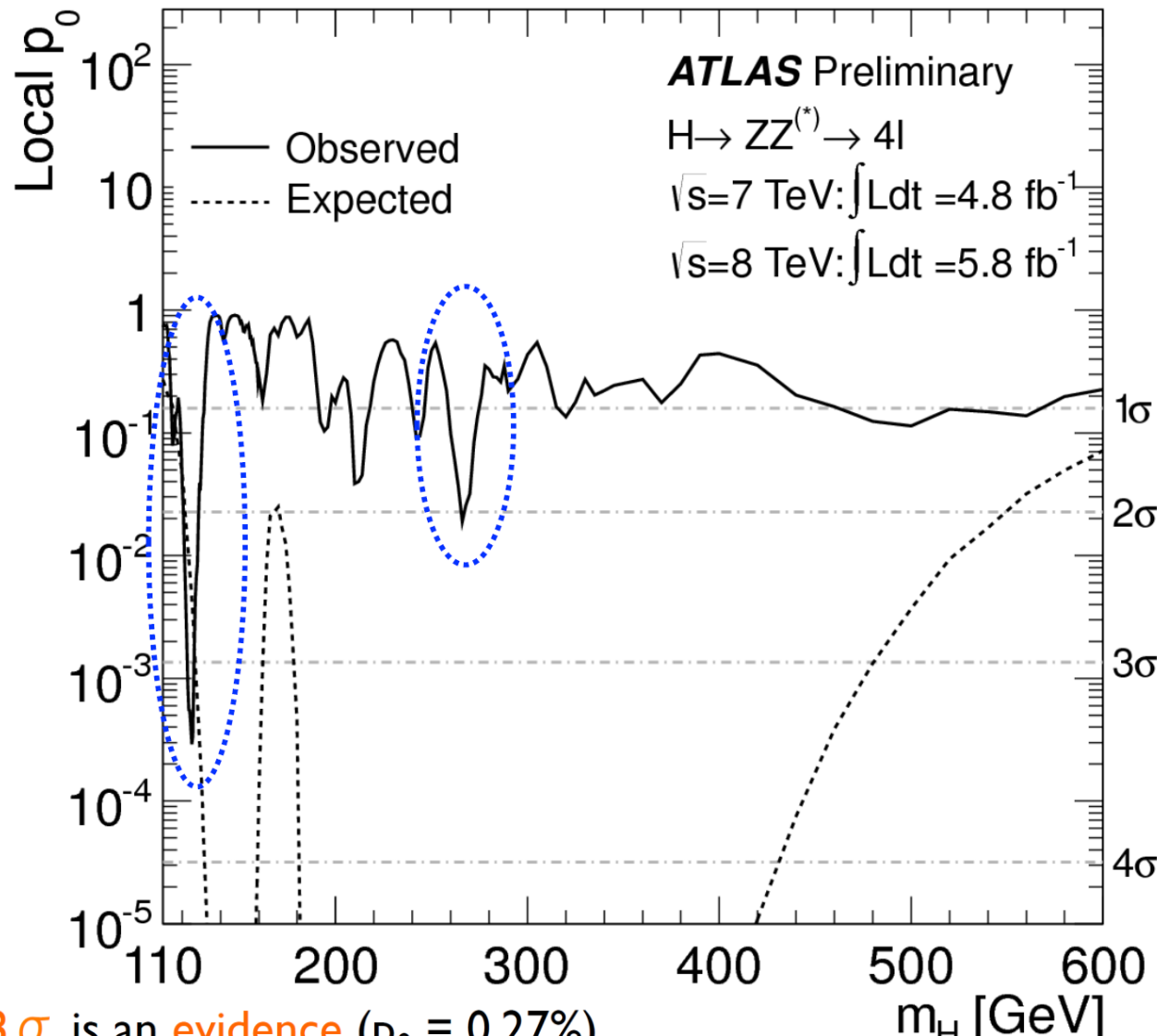
*Only a selection of the available mass limits on new states or phenomena is shown.

Заключение



Дополнительные прозрачки

Значительно ли превышение?



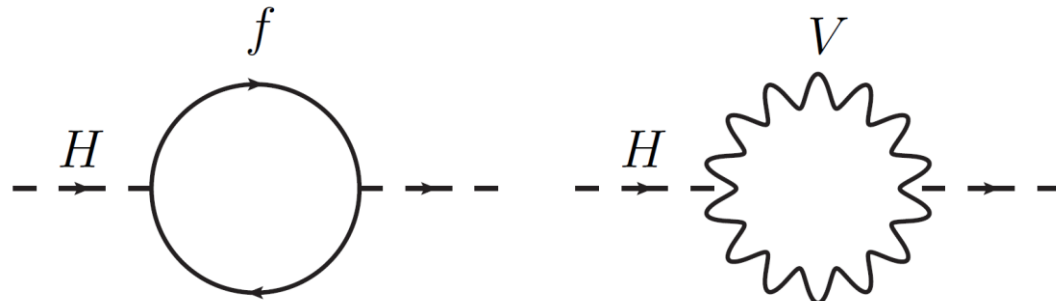
P-значение (англ. P-value)
величина, используемая при тестировании статистических гипотез.
это вероятность ошибки при отклонении от нулевой гипотезы.

$$p_0 = 1 - \text{Erf}\left(\frac{Z}{\sqrt{2}}\right)$$

$$\text{erf}(z) \equiv \frac{2}{\sqrt{\pi}} \int_0^z e^{-t^2} dt.$$

Hierarchy problem of SM

- SM is an effective theory valid up to a cut off scale Λ_{SM}
- Radiative corrections



$$\Delta m_H^2 = -\frac{|y_f|^2}{16\pi^2} \left[2\Lambda^2 + \mathcal{O}\left(m_f^2 \ln\left(\frac{\Lambda}{m_f}\right)\right) \right]$$